

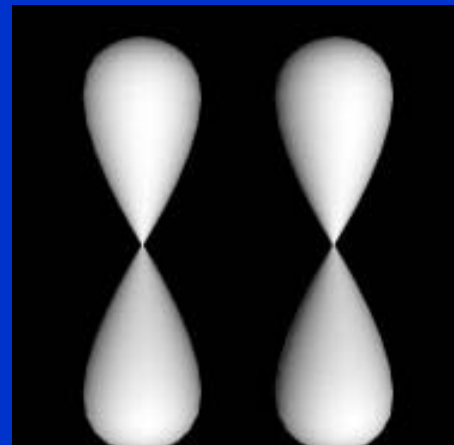
Překryv orbitalů

Vznik vazby překryvem orbitalů na dvou různých atomech A, B
Obsazeno dvojicí elektronů

$$\Psi = \Psi_A \times \Psi_B$$

Podmínky překryvu:

- Vhodná symetrie, znaménko vlnové funkce
- Vhodná energie, srovnatelná, ne velmi rozdílná



Typy překryvu orbitalů

Sigma vazba, σ

Elektronová hustota lokalizována na spojnici jader

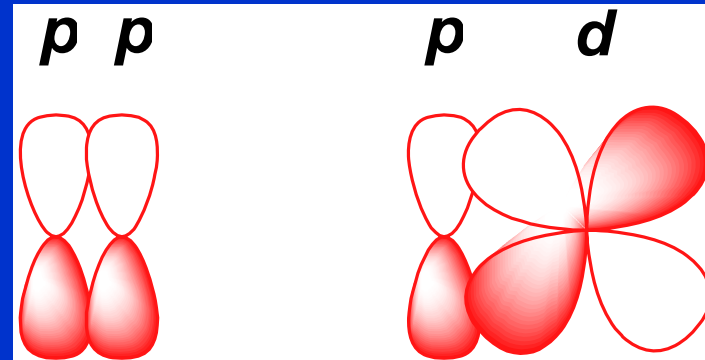
Spojnice jader obvykle značíme jako **osu z**



Pi vazba, π

Elektronová hustota lokalizována mimo spojnicu jader

Jedna uzlová rovina

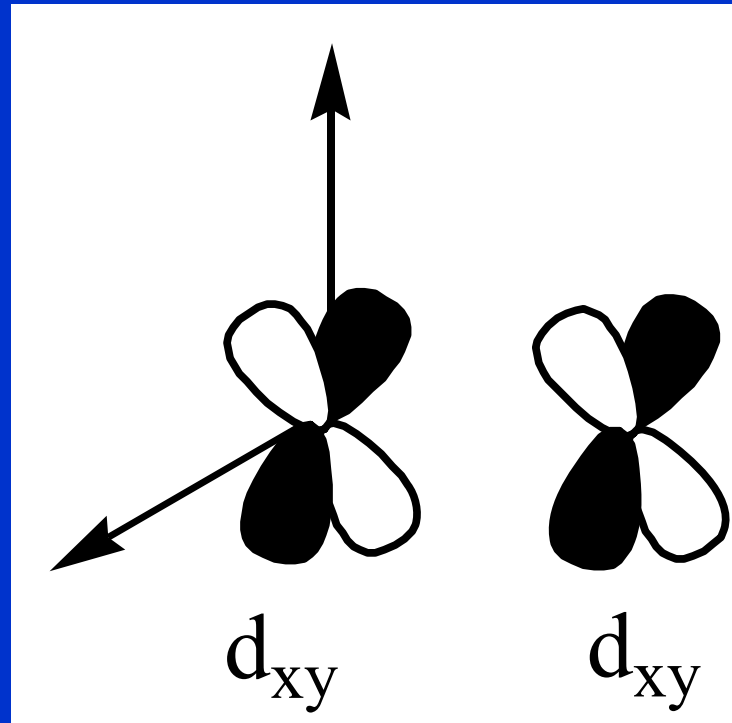


Typy překryvu orbitalů

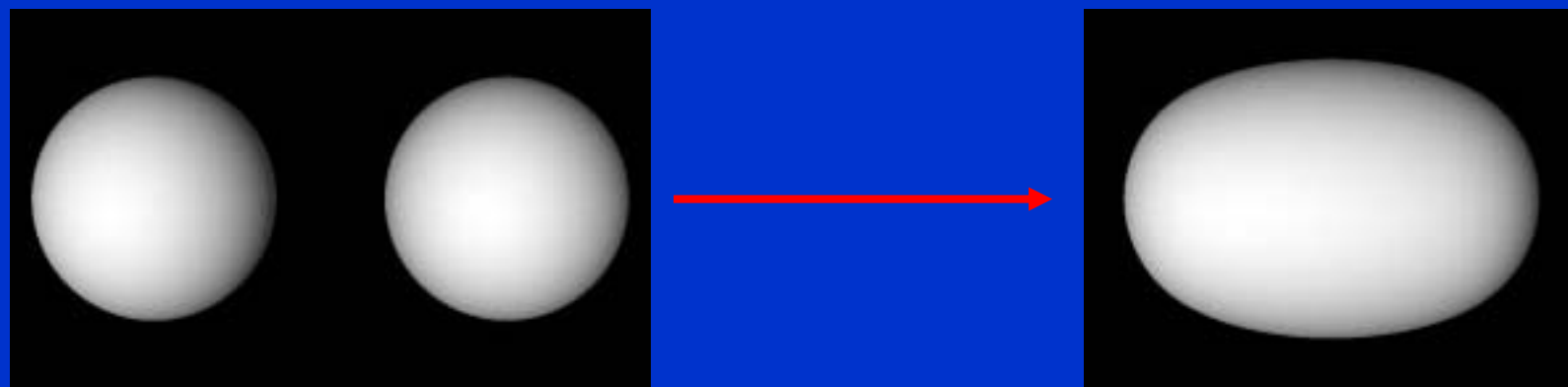
Delta vazba, δ

Elektronová hustota lokalizována mimo spojnice jader

Dvě uzlové roviny



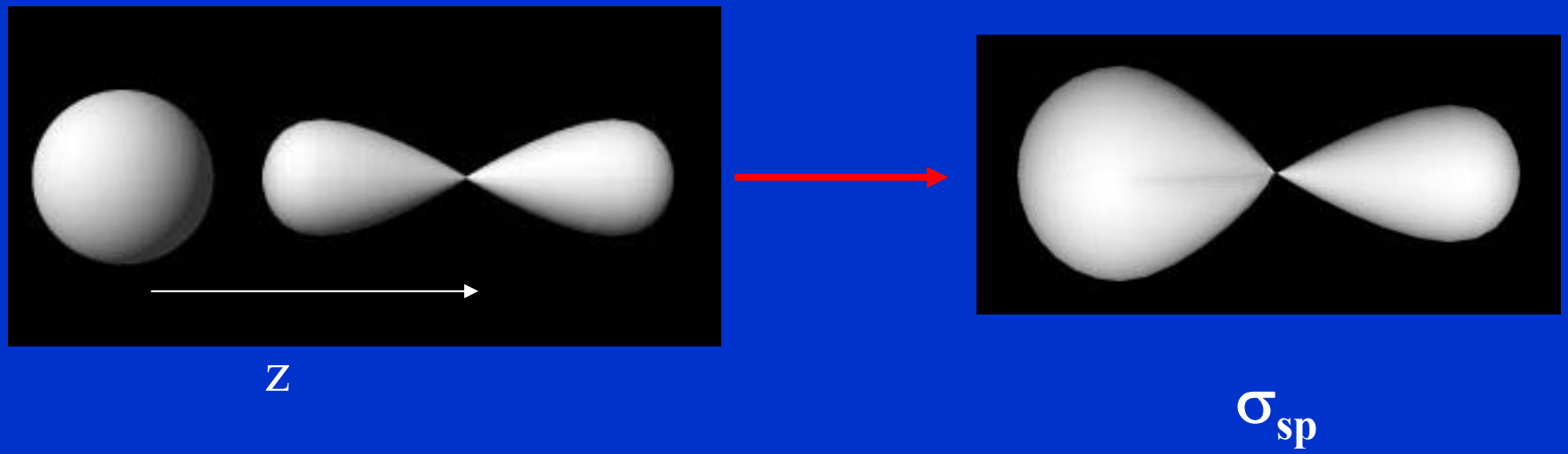
Sigma vazba, σ_{ss}



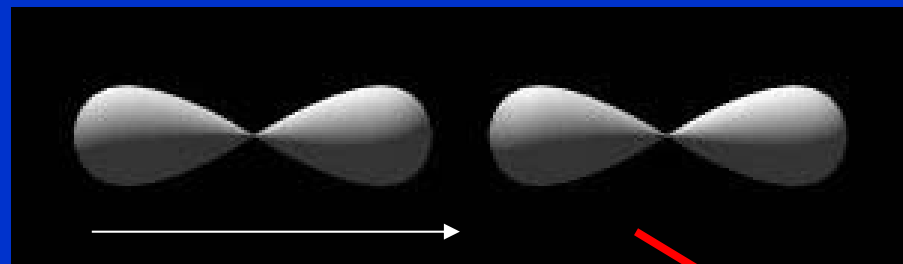
$$\sigma_{ss}$$

Elektronová hustota lokalizována na spojnicí jader

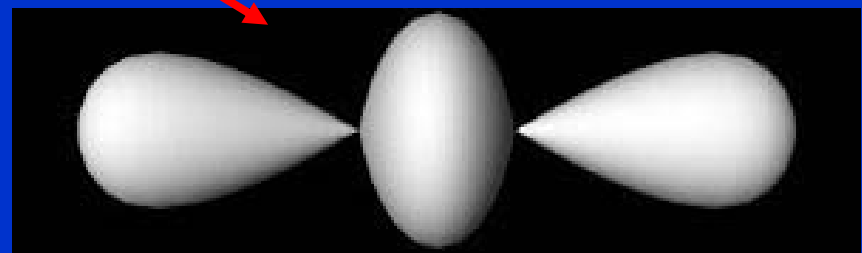
Sigma vazba, σ_{sp}



Sigma vazba, σ_{pp}



z



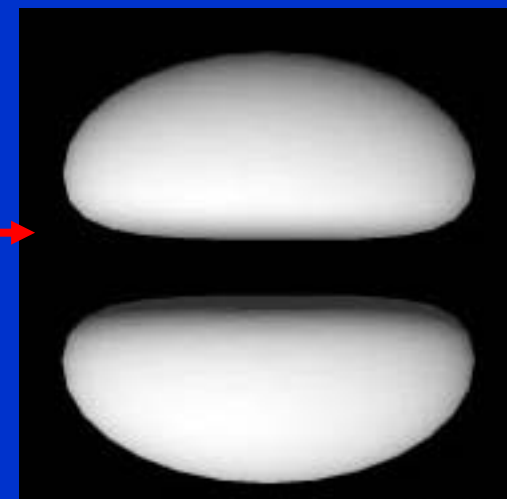
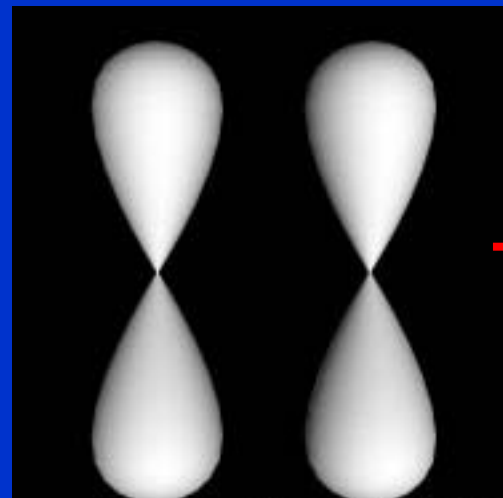
σ_{pp}

6

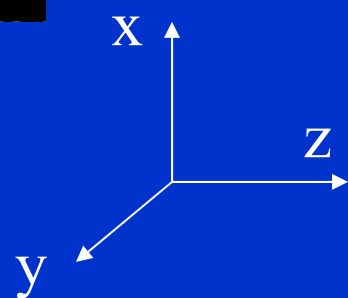
Pi vazba, π

Elektronová hustota lokalizována mimo spojnice jader

Jedna uzlová rovina



Stejně pro p_x a p_y



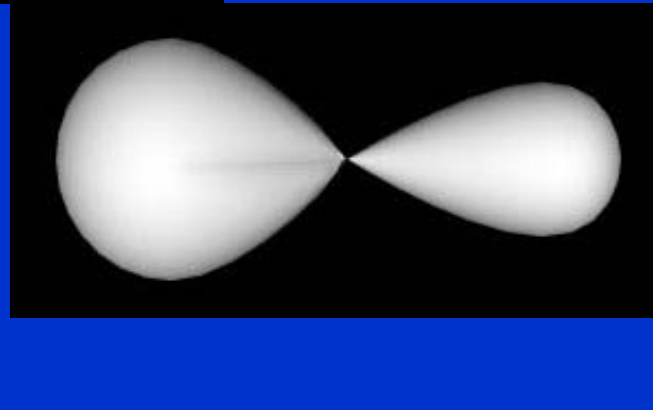
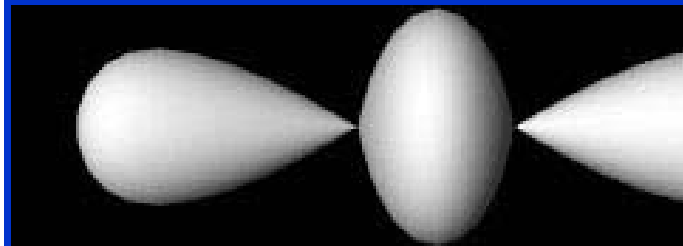
$$2 \times \pi_{pp}$$

Účinnost překryvu orbitalů

Kratší vzdálenost = lepší překryv

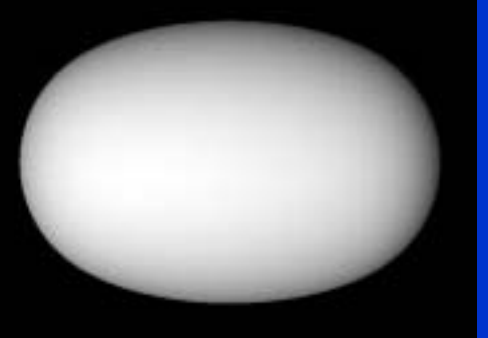
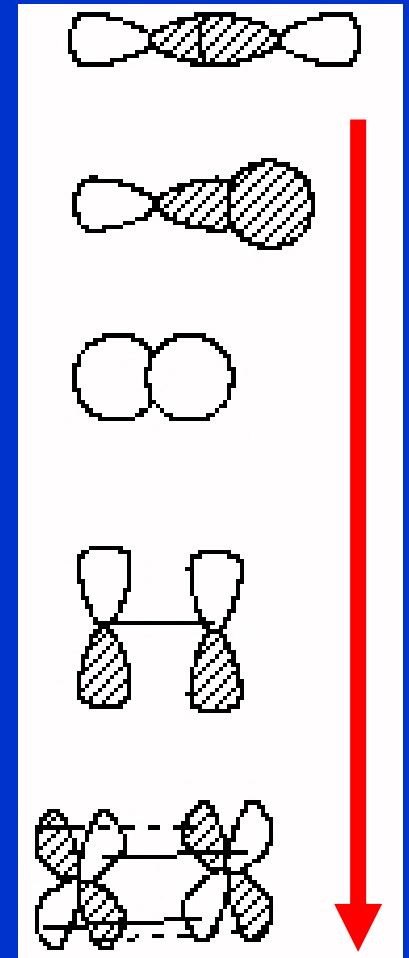
Při stejné vzdálenosti jader: $\sigma > \pi > \delta$

Pro σ : $p_z-p_z > p_z-s > s-s$



Překryv klesá

Slabší vazba



Vazebné parametry

| Anion | Řád vazby | Vazebná délka, Å |
|------------------|-----------|------------------|
| ClO^- | 1.0 | 1.67 |
| ClO_2^- | 1.50 | 1.58 |
| ClO_3^- | 1.67 | 1.49 |
| ClO_4^- | 1.75 | 1.43 |
| ClO_2^+ | 2.0 | 1.39 |

Řád vazby roste

Vazebná délka klesá

Vazebné parametry

| vazba | délka [Å] | energie [kJ mol ⁻¹] |
|-------|-----------|---------------------------------|
| C–C | 1.54 | 348 |
| C=C | 1.34 | 612 |
| C≡C | 1.20 | 837 |
| C–O | 1.43 | 360 |
| C=O | 1.23 | 743 |
| C≡O | 1.13 | 1074 |
| N–N | 1.47 | 163 |
| N=N | 1.24 | 409 |
| N≡N | 1.10 | 944 |

Vazebné parametry

| Vazba | E, kJ mol ⁻¹ | Polarita vazby |
|-------|-------------------------|------------------|
| H–H | 431 | Nepolární |
| F–F | 155 | Nepolární |
| H–F | 565 | Polární |
| Vazba | | Teplota tání, °C |
| Ge–Ge | 188 | 937 |
| Si–Si | 226 | 1412 |
| C–C | 347 | 3827 |

Vazebné parametry

| Vazba | E, kJ mol ⁻¹ | délka, Å | |
|-------|-------------------------|----------|--|
| C–I | 240 | 2.16 | |
| C–Br | 276 | 1.91 | |
| C–Cl | 339 | 1.79 | |
| C–F | 485 | 1.40 | |

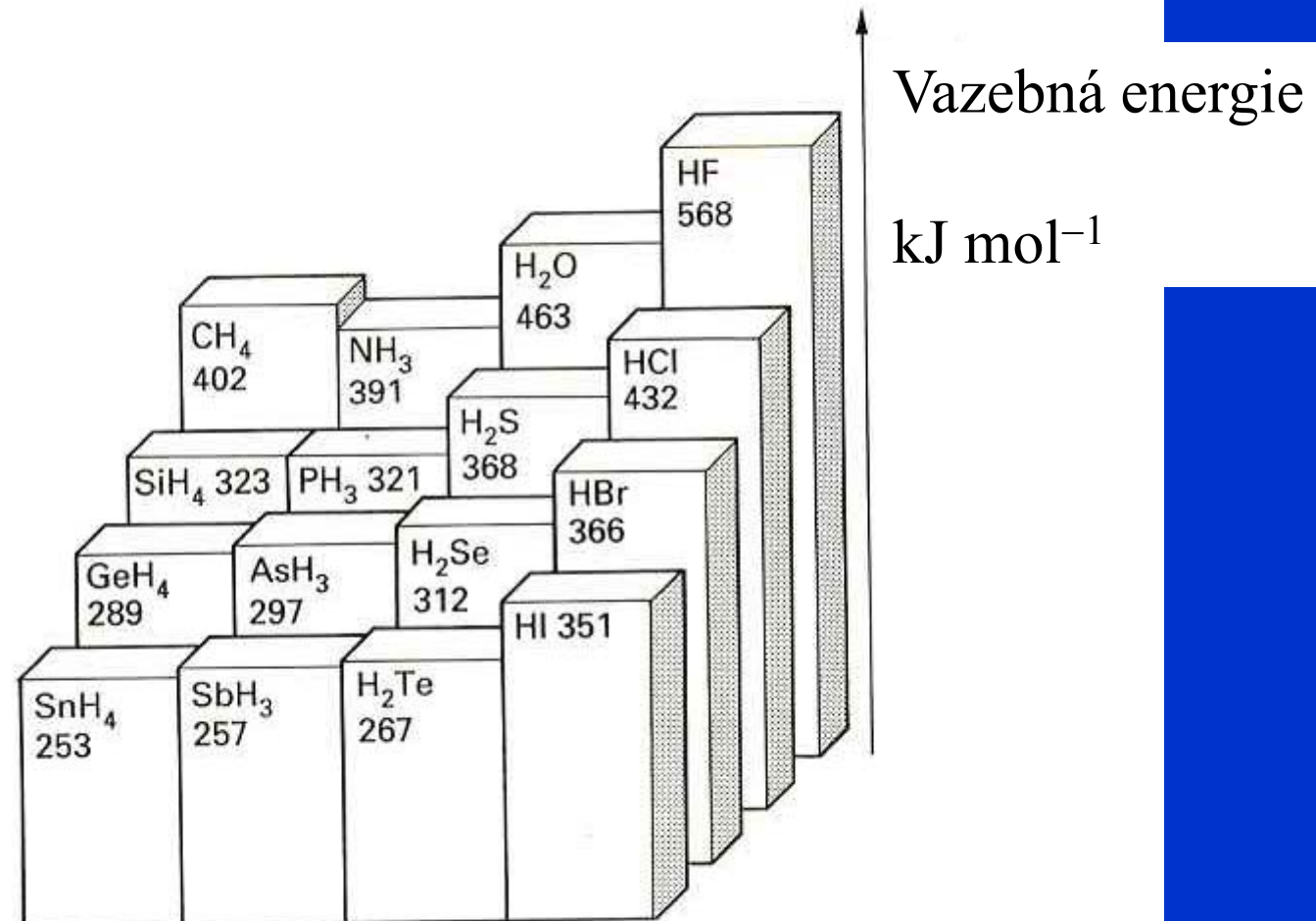
Polarita vazby
rosté

Pauling $E_D(AB) = \{E_D(AA) \times E_D(BB)\}^{1/2} + \Delta$

$$\Delta = 96.48 (\chi_A - \chi_B)^2$$

Schomaker-Stevenson

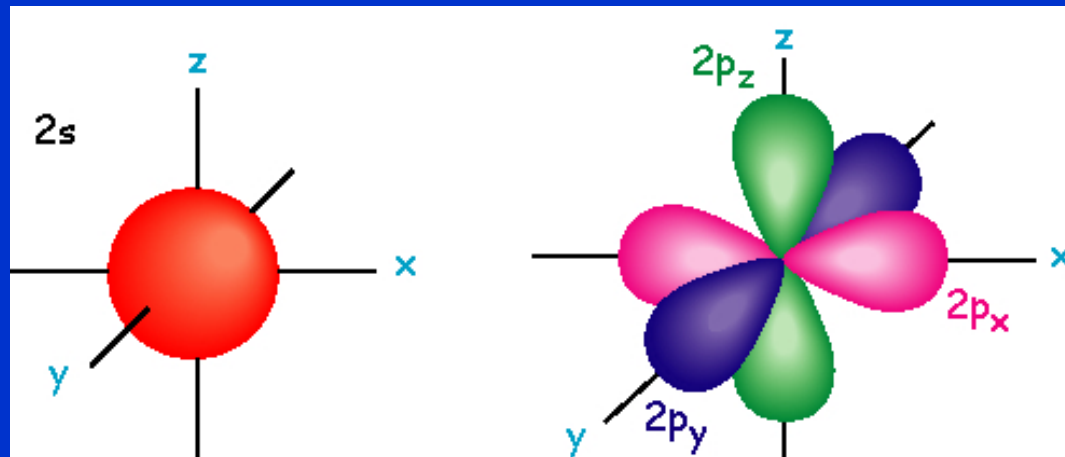
$$r_{AB} = r_A + r_B - 0.09 |\chi_A - \chi_B|$$





Linus Pauling

Hybridizace



Vazebné úhly 90° jsou vzácné (u prvků hlavních skupin), obvyklé úhly jsou $109, 120, 180^\circ$

Hybridizace = energetické smíšení a směrové vyrovnání atomových orbitalů na **stejném** atomu

Počet hybridních orbitalů = počet smísených atomových orbitalů

Hybridizace sp

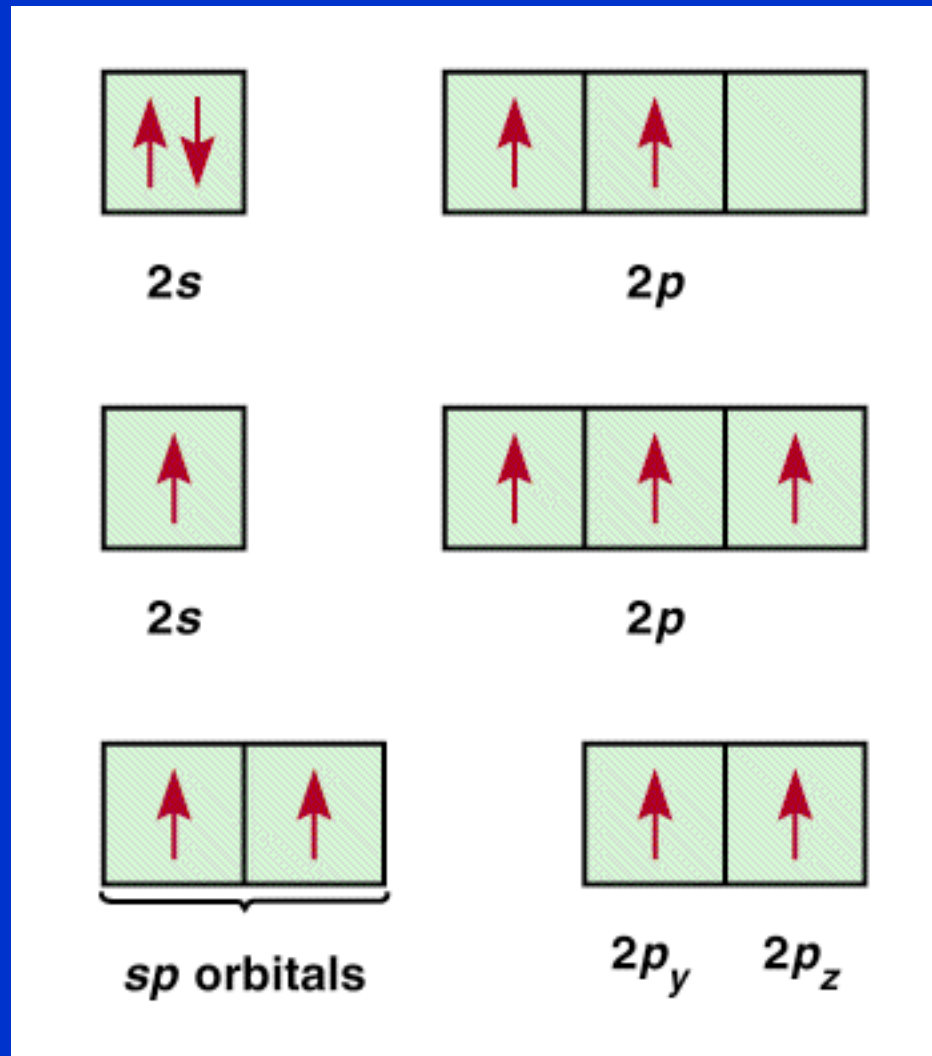
Základní stav



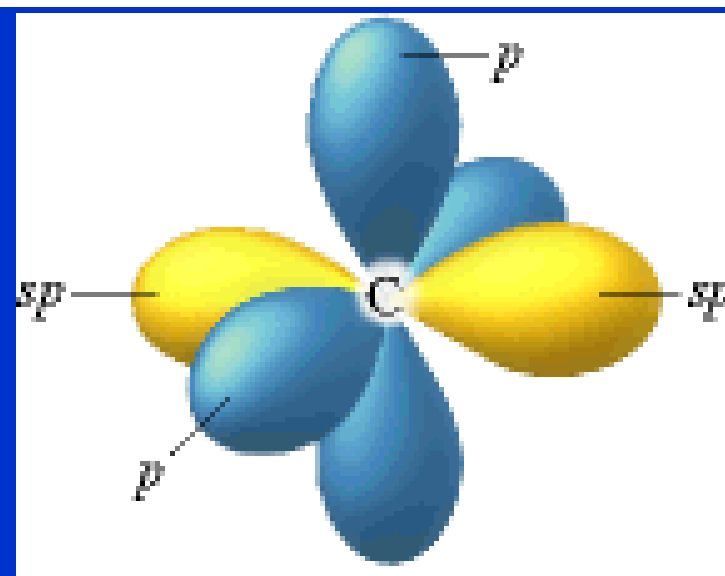
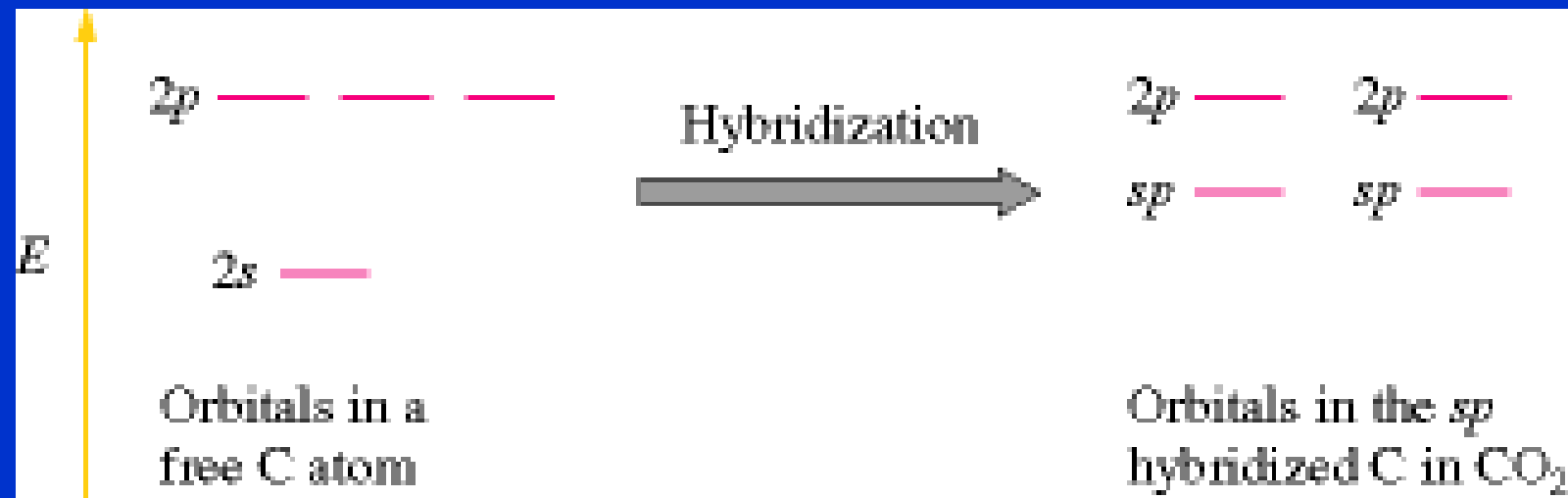
Excitovaný stav



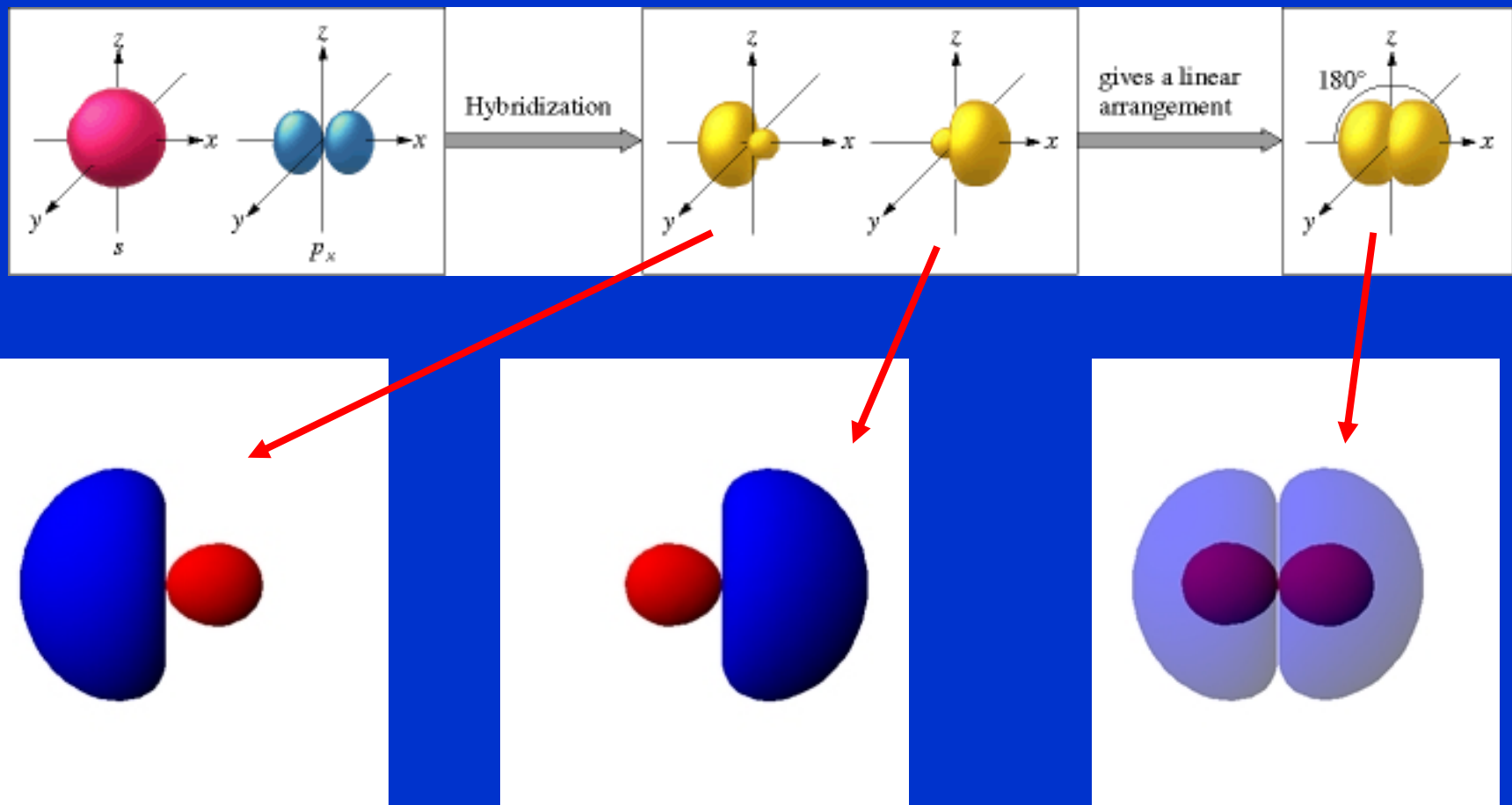
Hybridizovaný stav



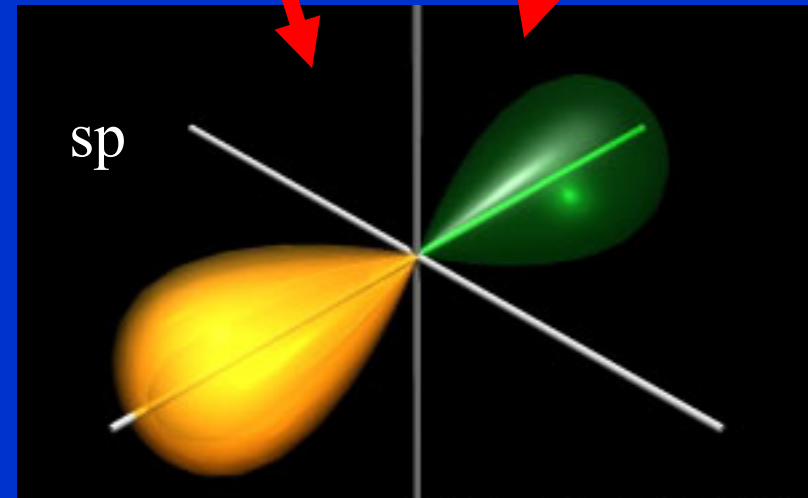
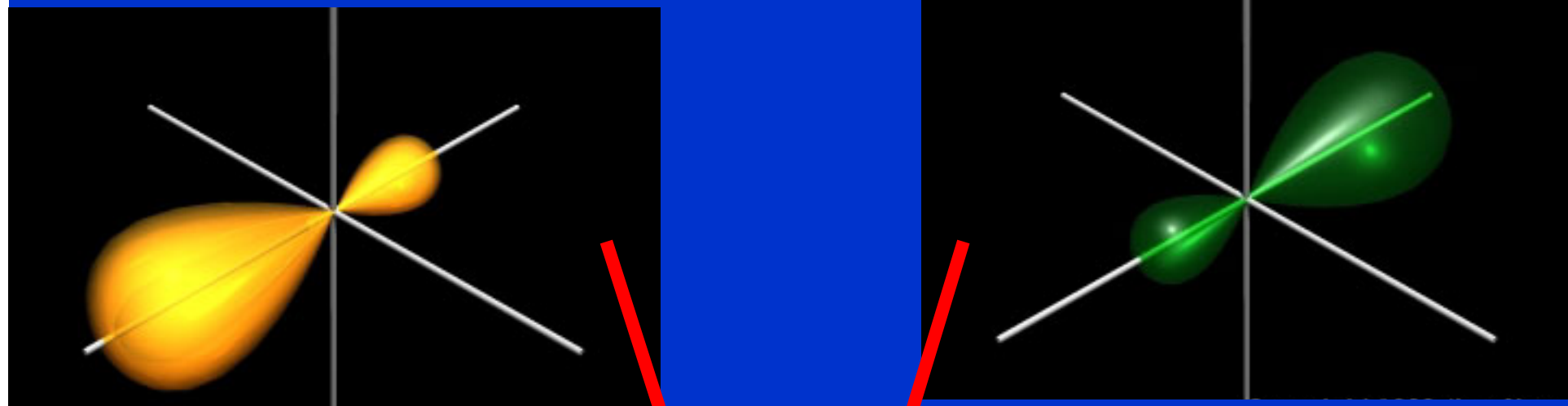
Hybridizace sp



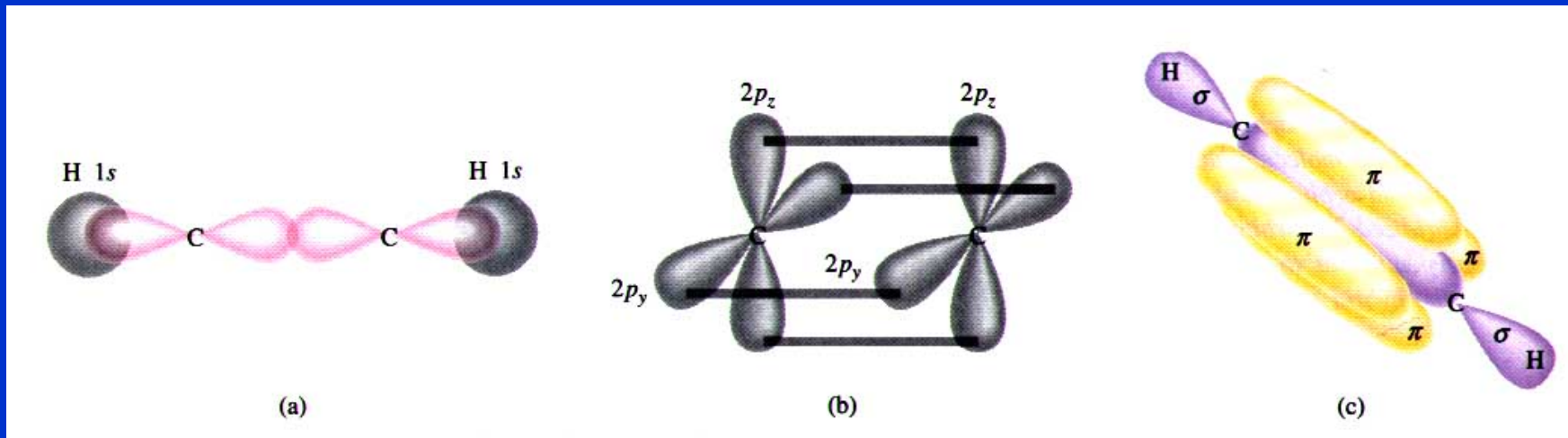
Hybridizace sp



Hybridizace sp

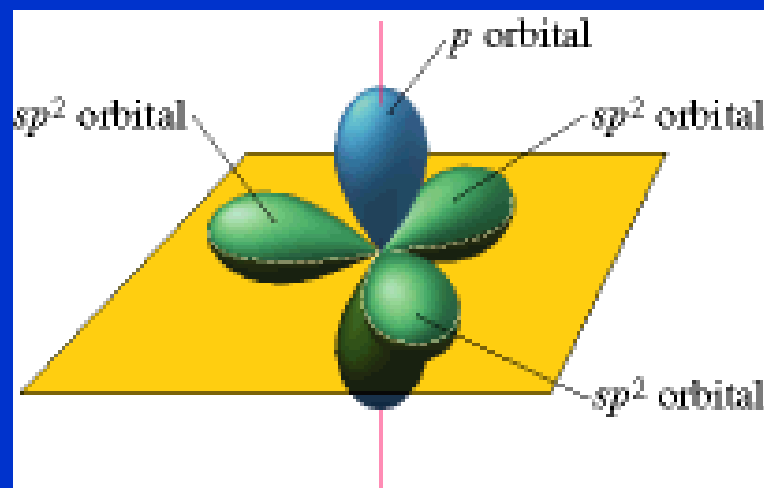
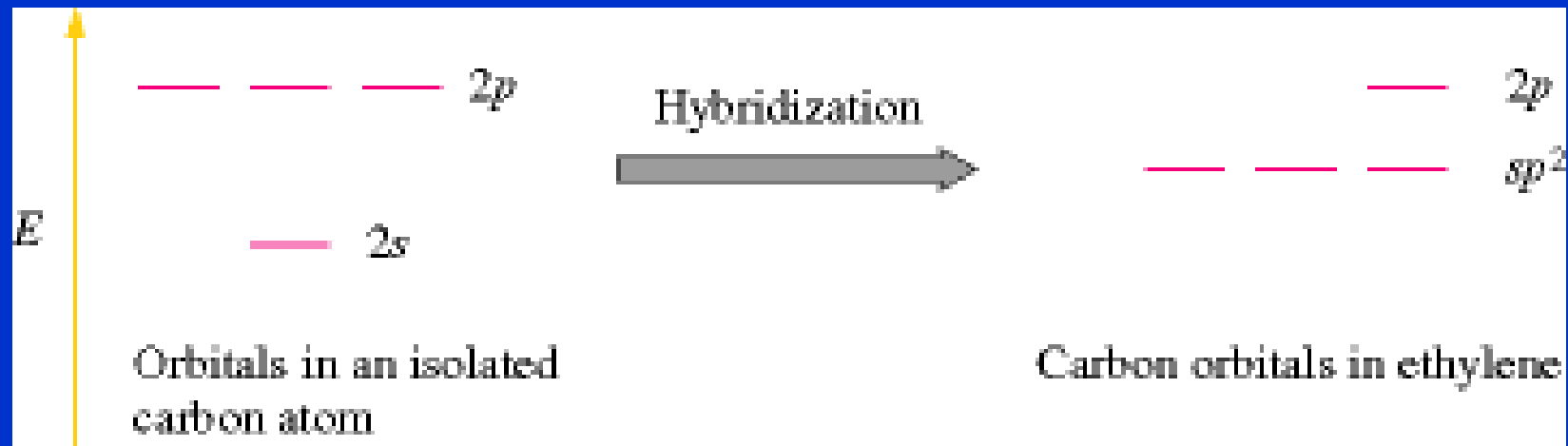


Acetylen

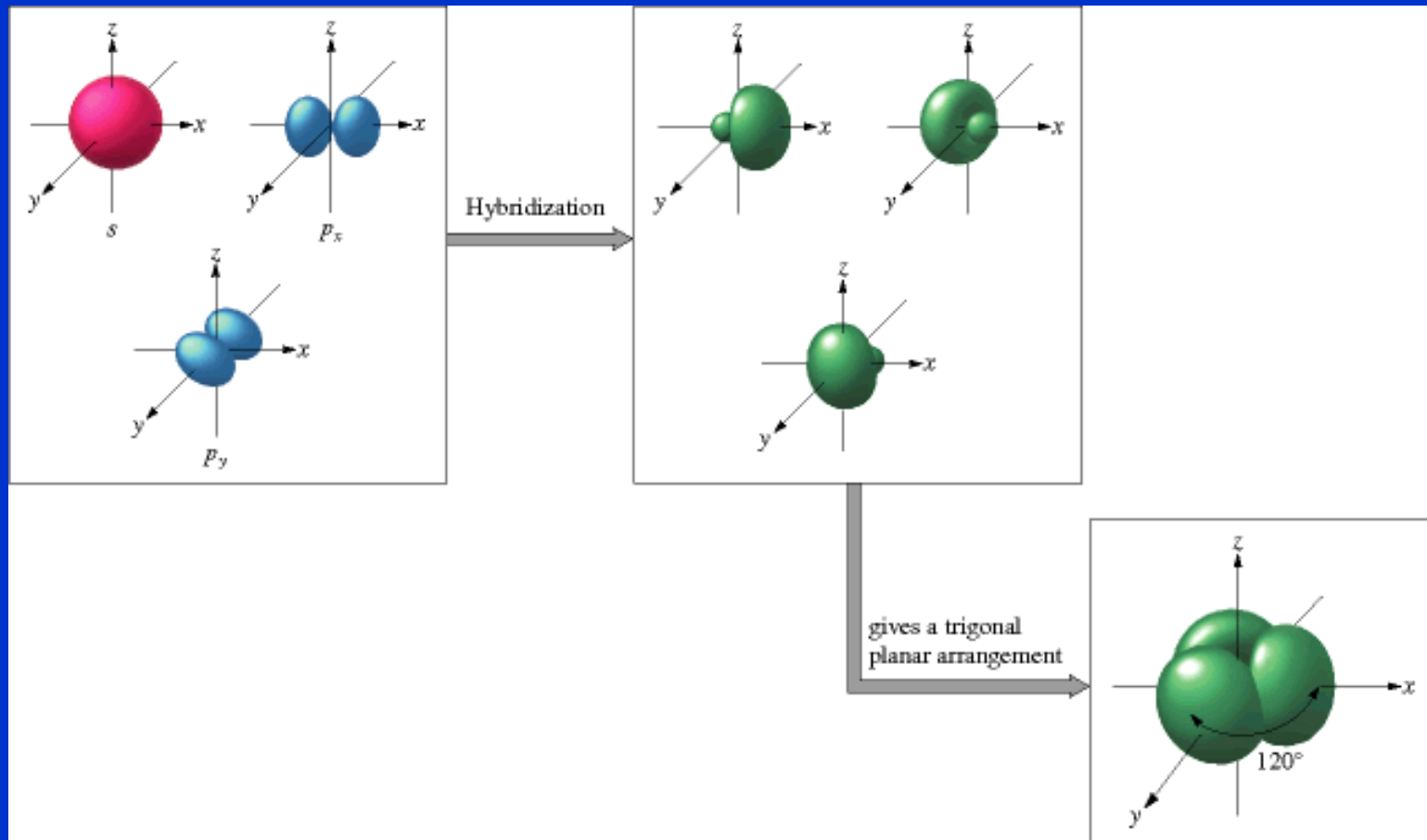


- 2 σ vazby překryvem C(sp)–H(s)
- 1 σ vazba překryvem C(sp)–C(sp)
- 2 navzájem kolmé π -vazby (x, y) překryvem C(p)–C(p)

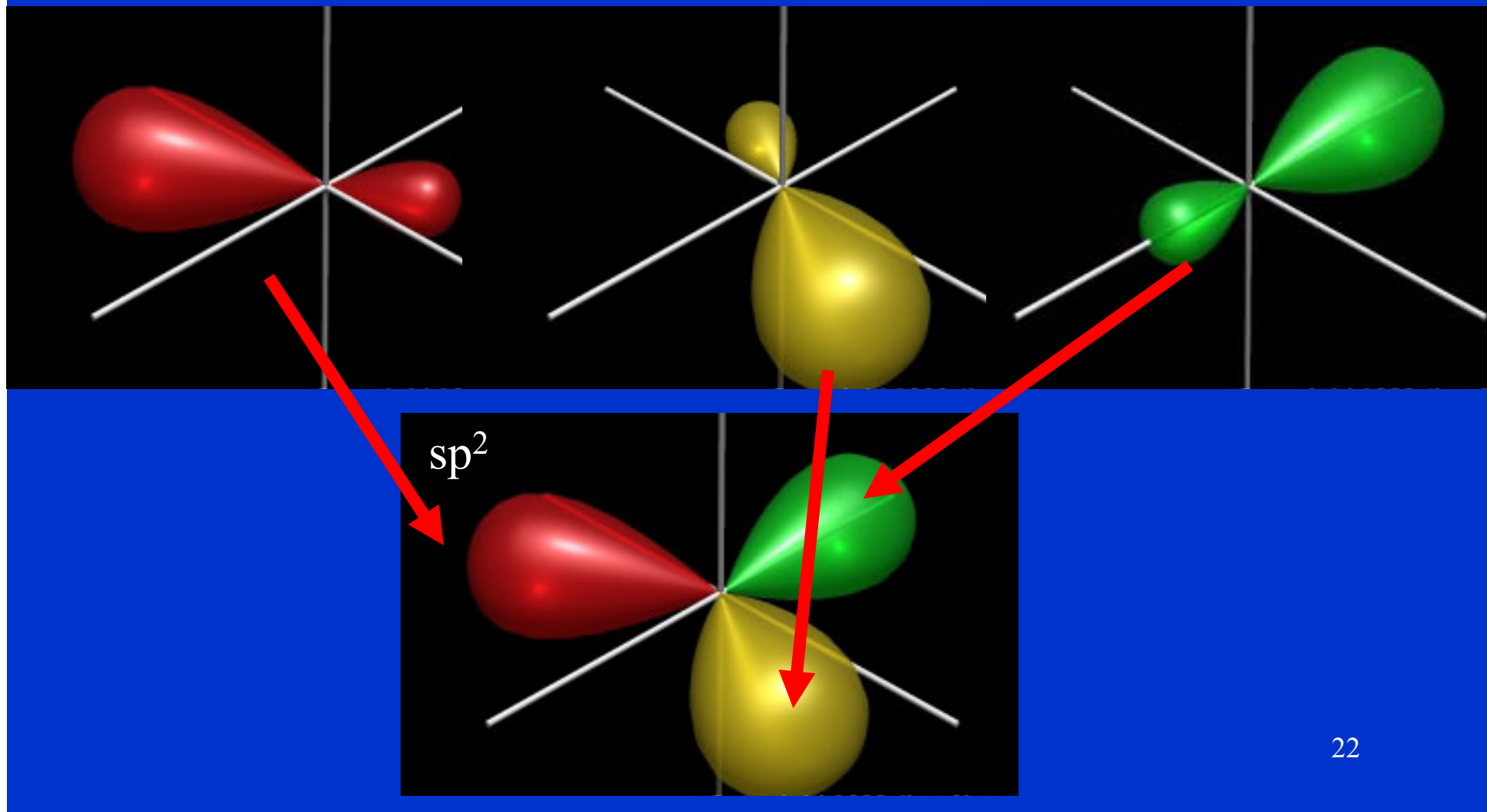
Hybridizace sp^2



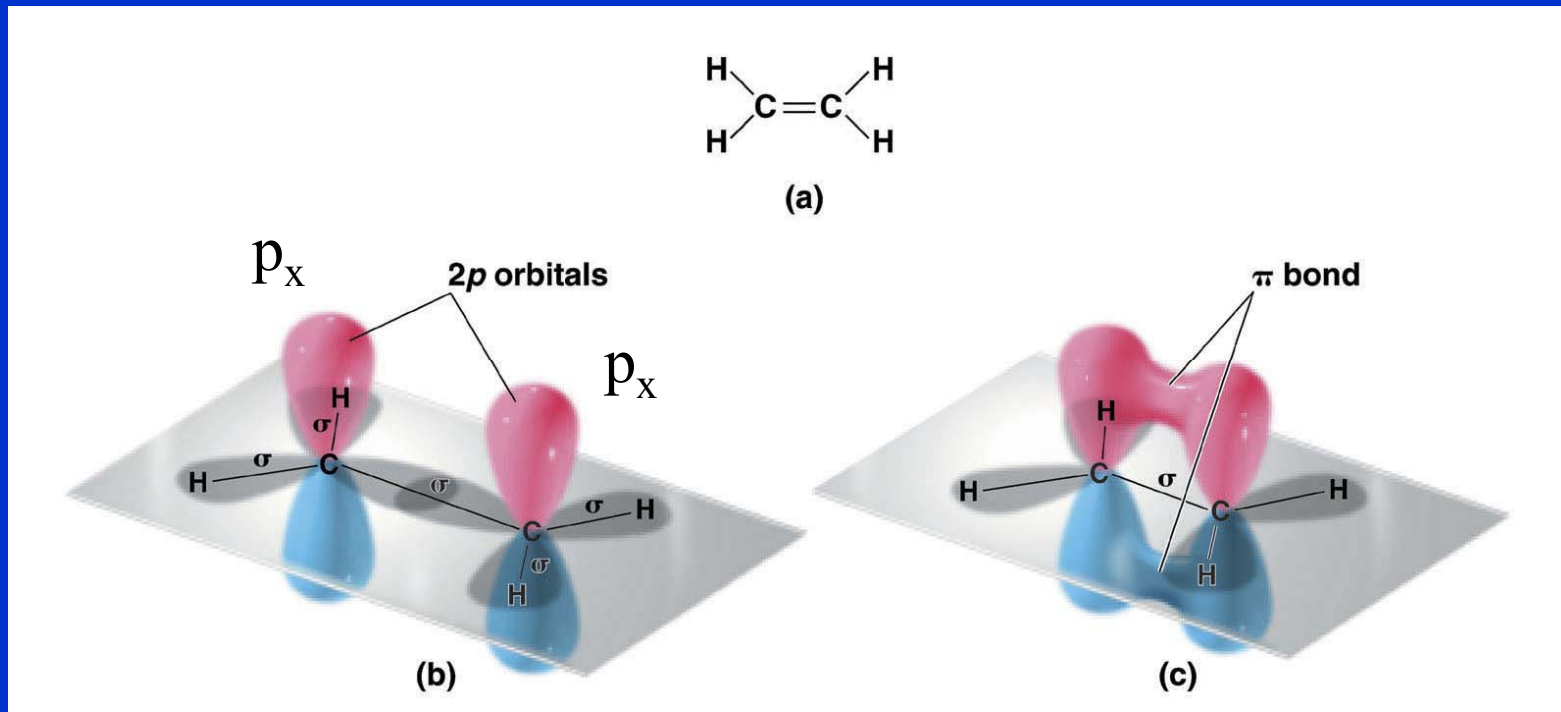
Hybridizace sp^2



Hybridizace sp^2

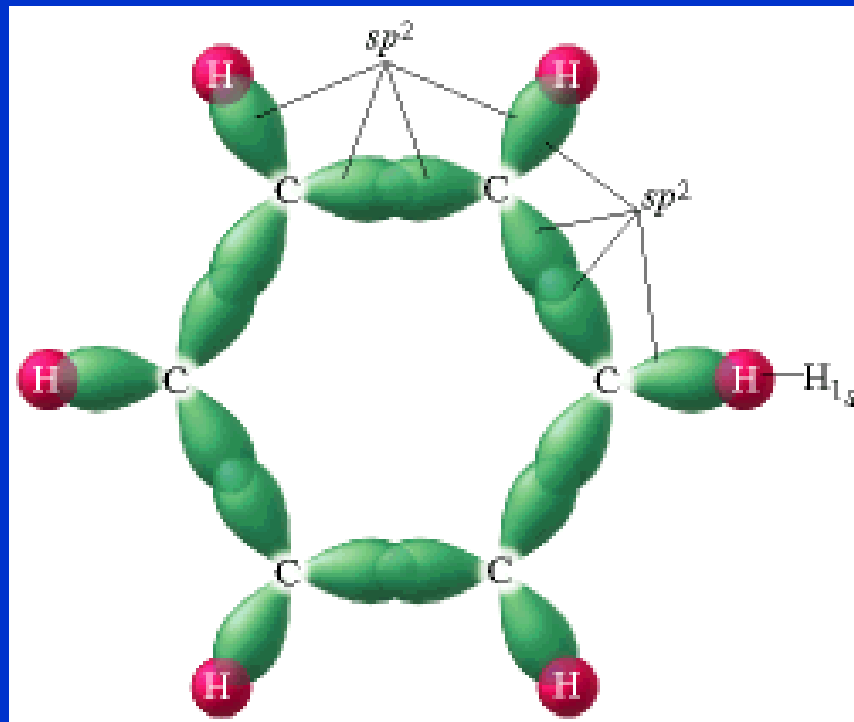
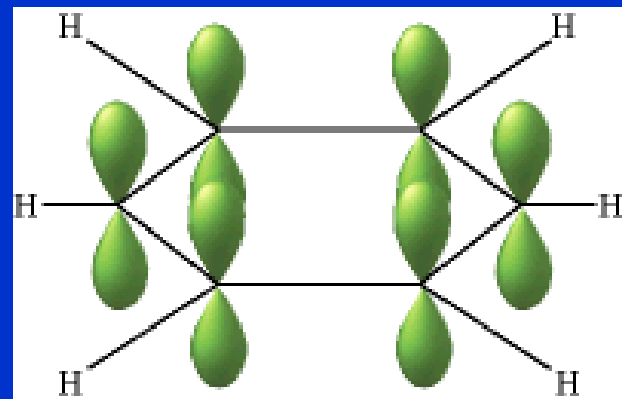
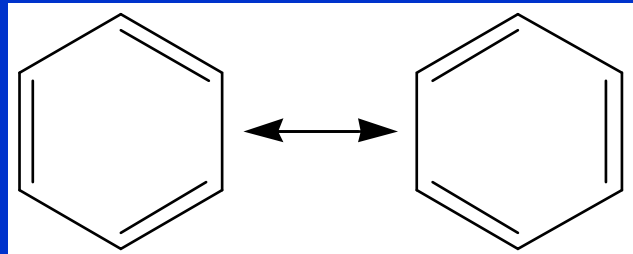


Ethylen



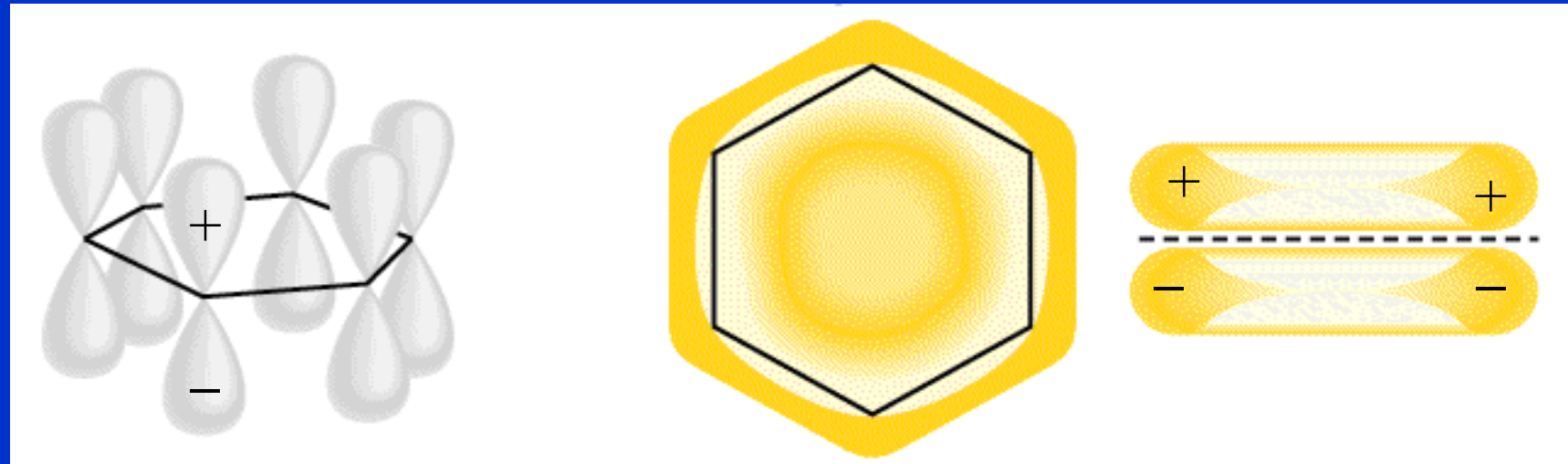
- 4 σ vazby překryvem $\text{C}(\text{sp}^2)-\text{H}(\text{s})$
- 1 σ vazba překryvem $\text{C}(\text{sp}^2)-\text{C}(\text{sp}^2)$
- 1 π -vazba překryvem $\text{C}(p_x)-\text{C}(p_x)$

Benzen

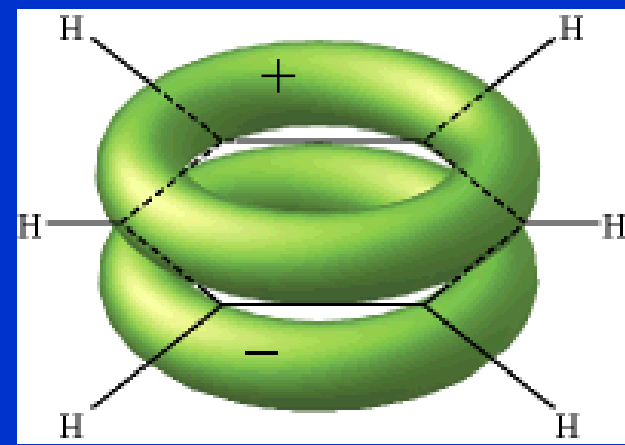


- Každý C použije 3 sp^2 orbitaly pro 3 σ -vazby
2 C – C vazby a 1 C – H vazba
- 1 $2p_x$ orbital na každém C zůstane nepoužitý (pro σ -vazby)

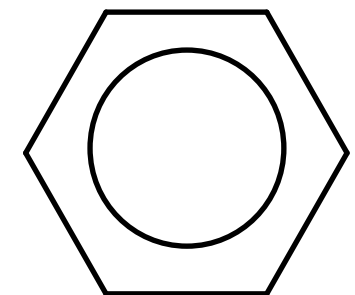
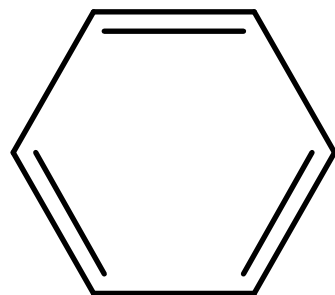
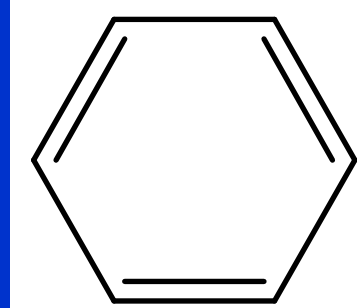
Benzen



6 C 2p_x orbitalů použito pro 3 π -vazby



Benzen



(a) Localized π bonds

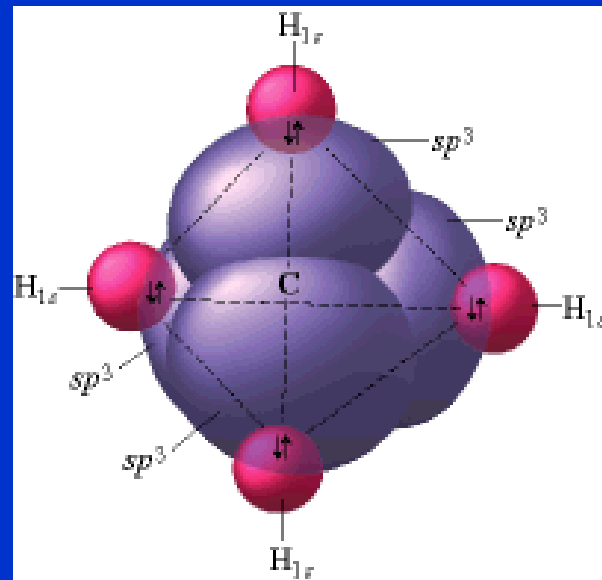
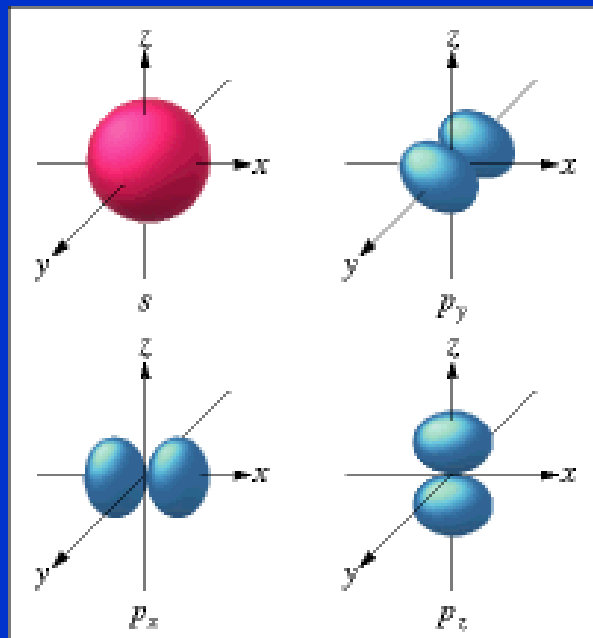
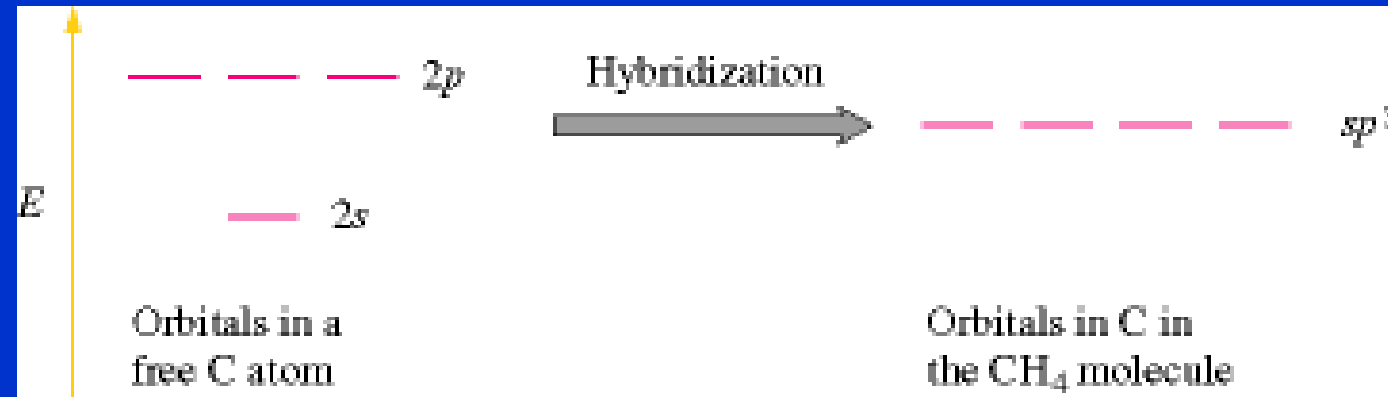


(b) Localized π bonds

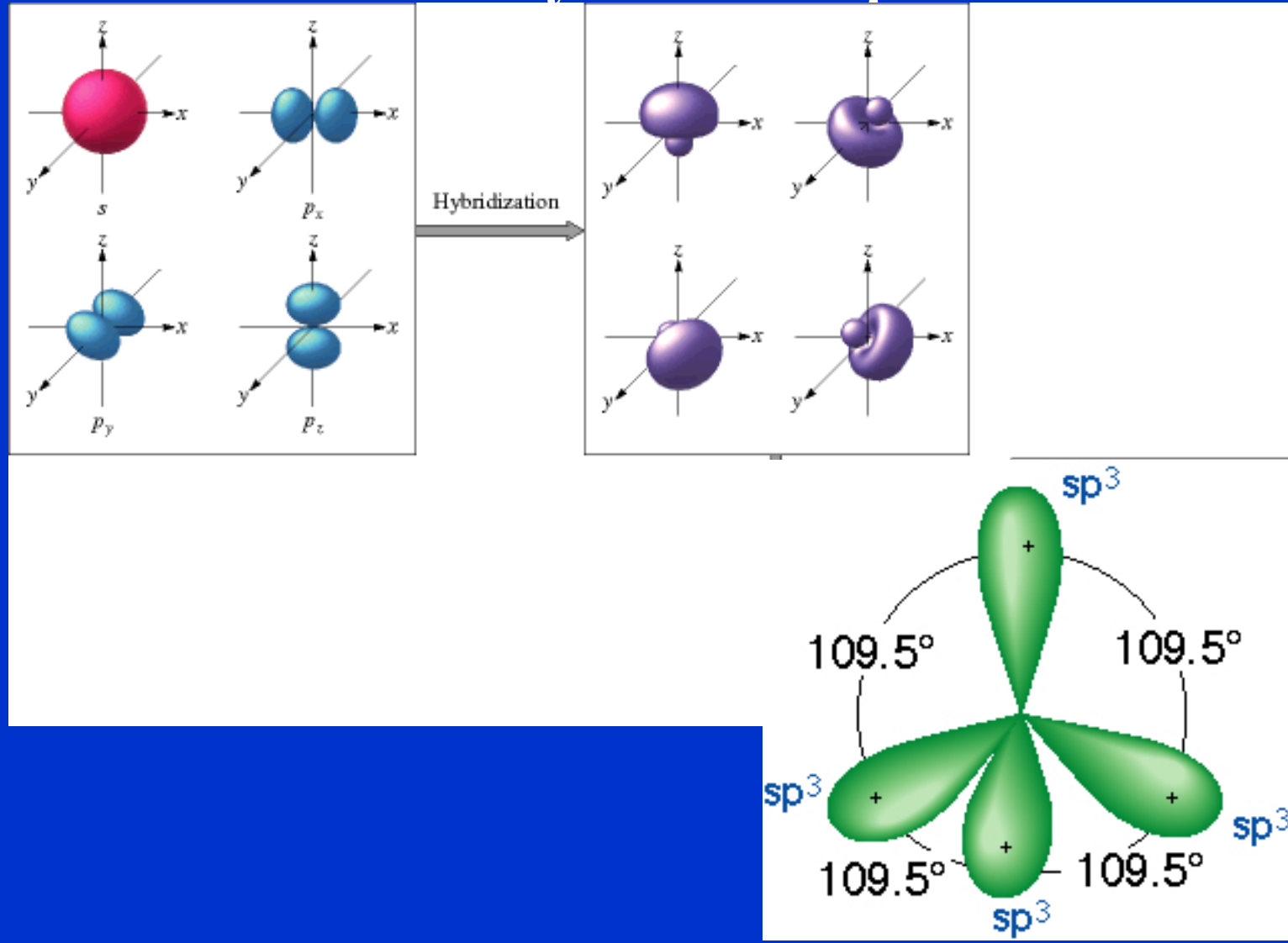


(c) Delocalized π bonds

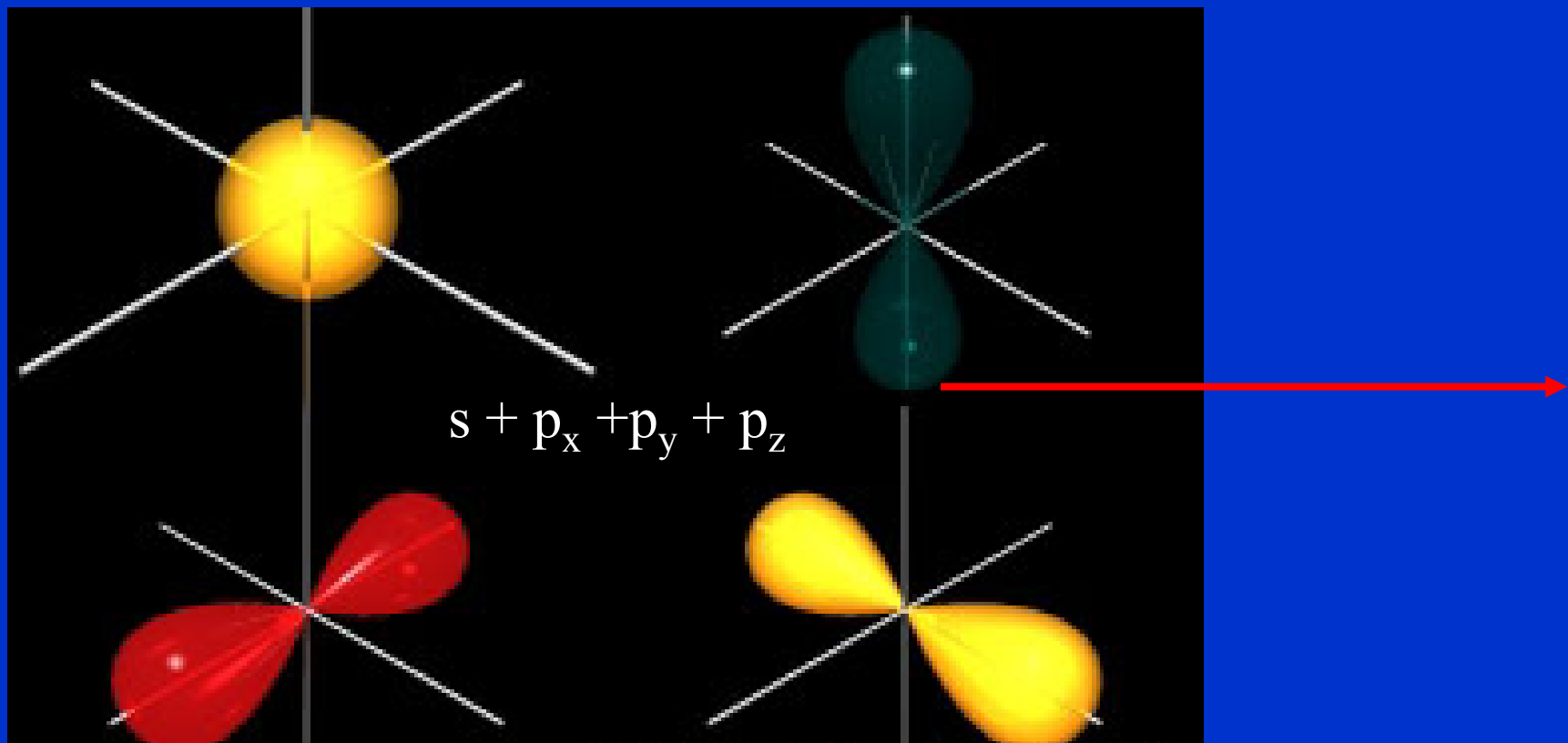
Hybridizace sp^3

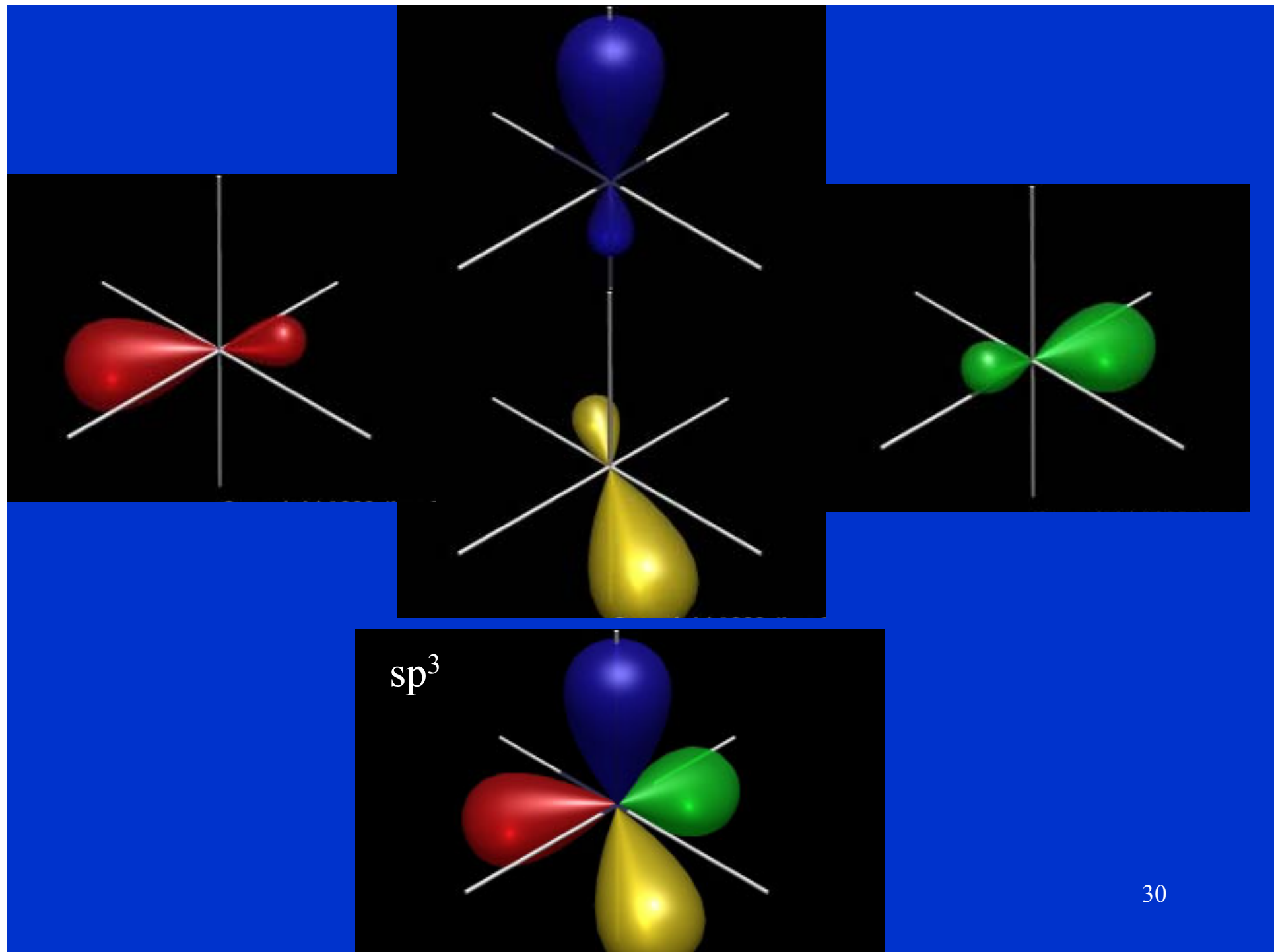


Hybridizace sp^3



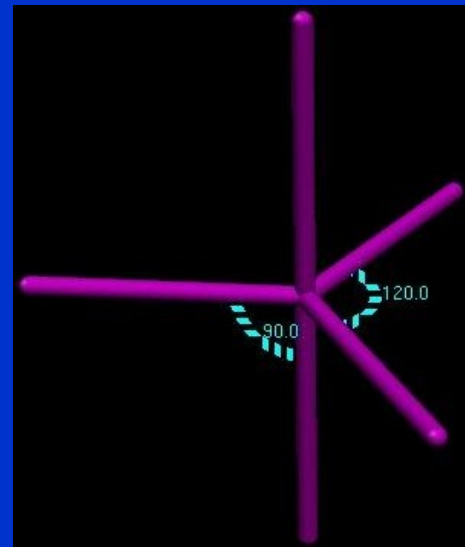
Hybridizace sp^3



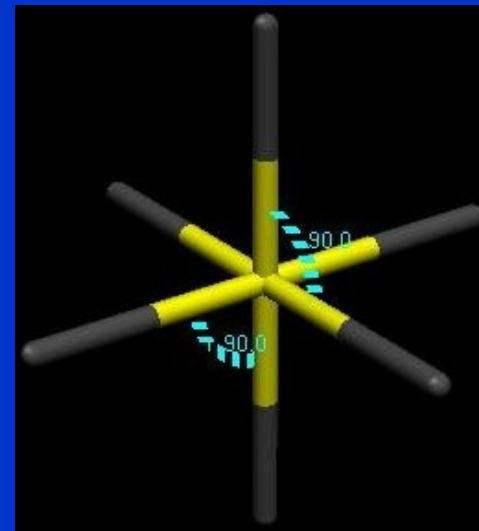


Hybridizace

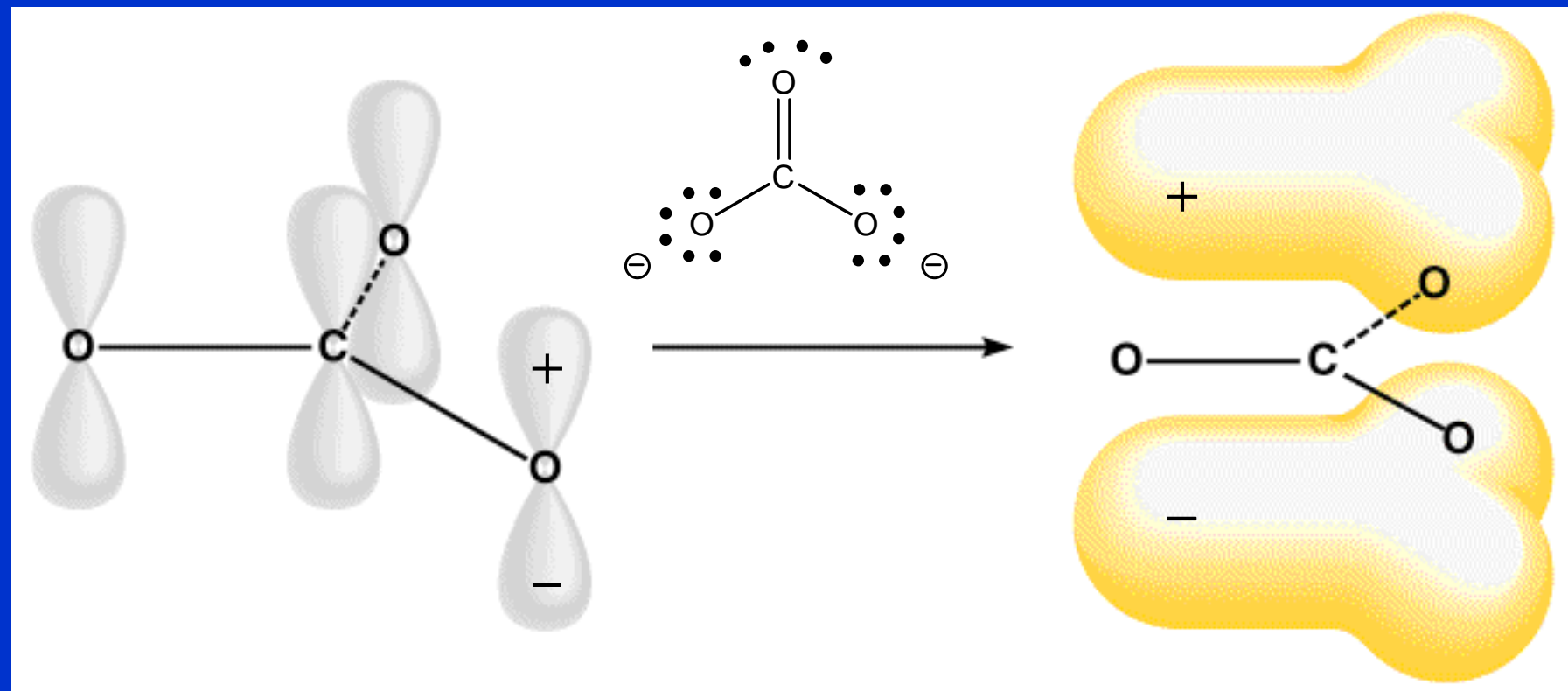
sp^3d



sp^3d^2

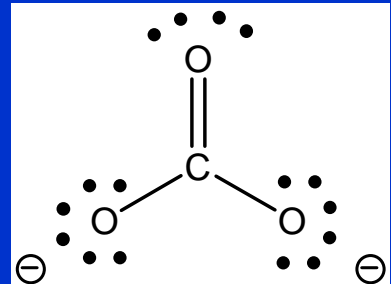


Vazba v CO_3^{2-} a NO_3^-



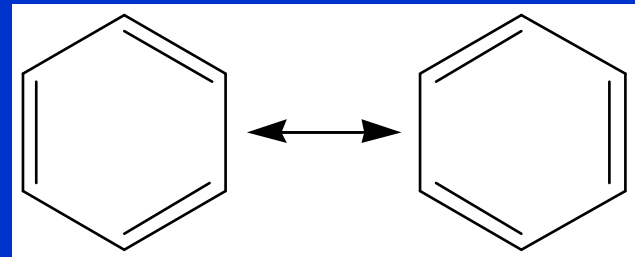
3 σ vazby překryvem $\text{C}(\text{sp}^2)-\text{O}(\text{sp}^2)$
1 π -vazba překryvem $\text{C}(\text{p}_x)-\text{O}(\text{p}_x)$

Řád vazby



4 (3+1) vazebné elektronové páry / 3 vazby

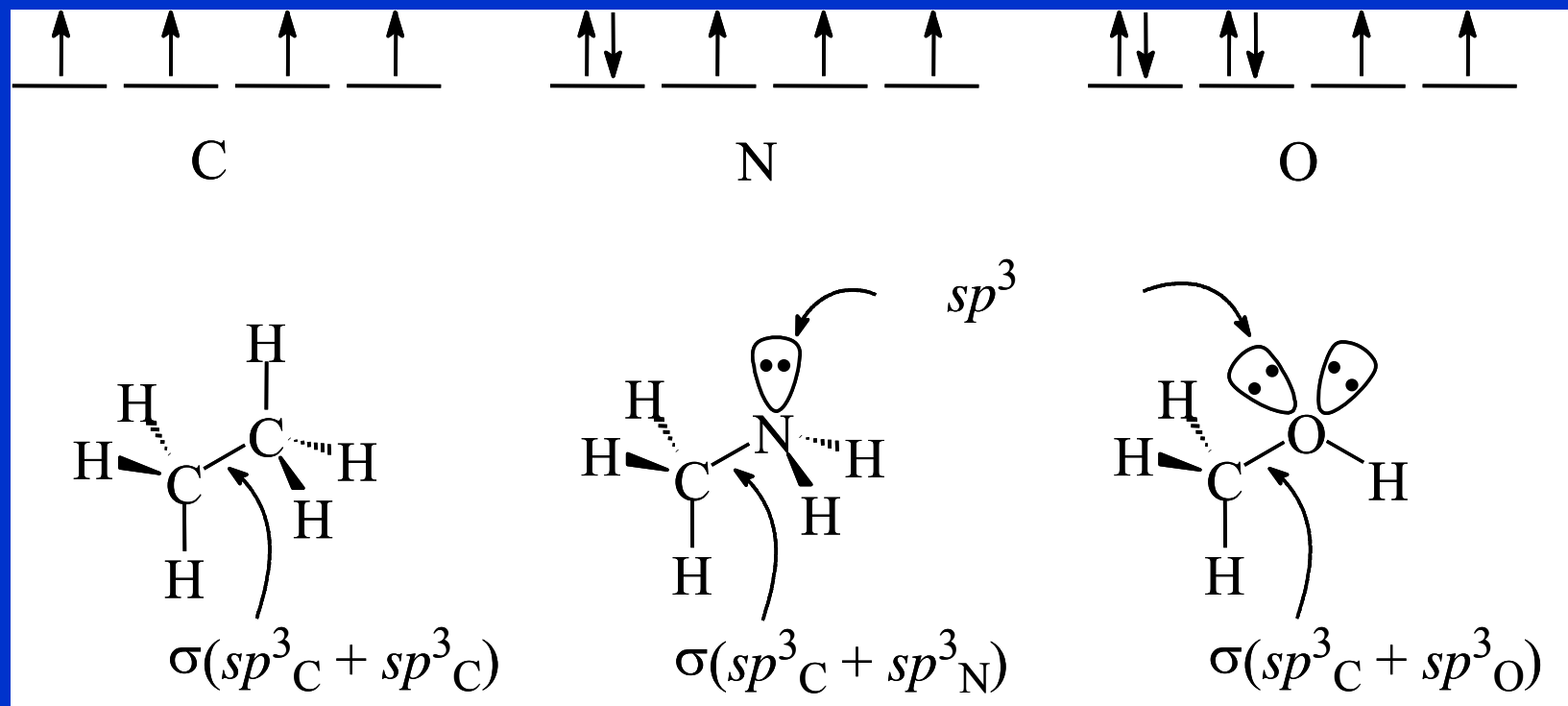
$$\text{Řád vazby} = 1.3333$$



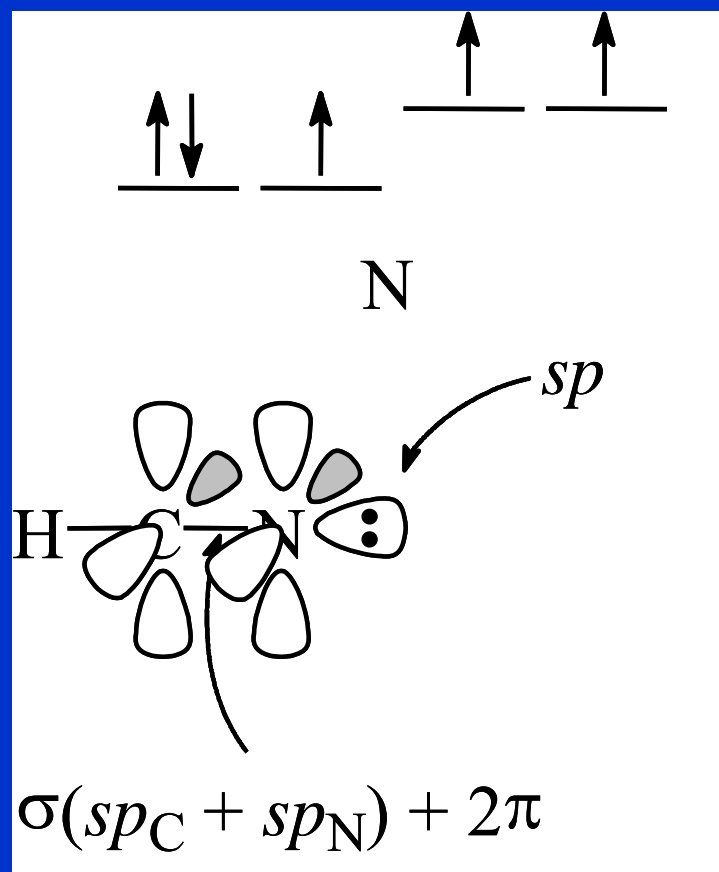
9 (6+3) vazebných elektronových páru / 6 vazeb

$$\text{Řád vazby} = 1.5$$

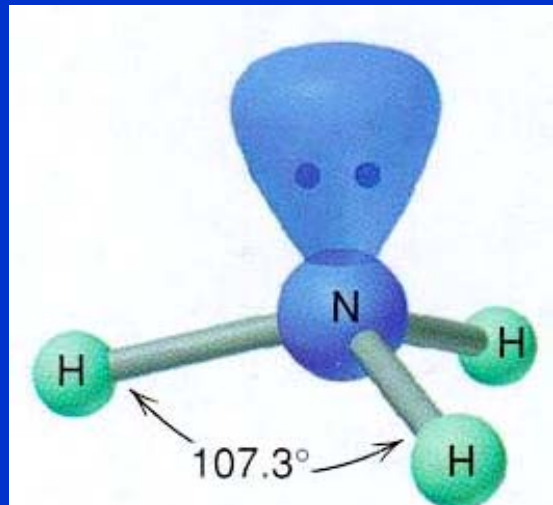
Vazba v C_2H_6 , CH_3NH_2 a CH_3OH



Vazba v HC≡N



Elektronegativita a vazebné úhly



Rostoucí $\Delta\chi$ snižuje
vazebné úhly

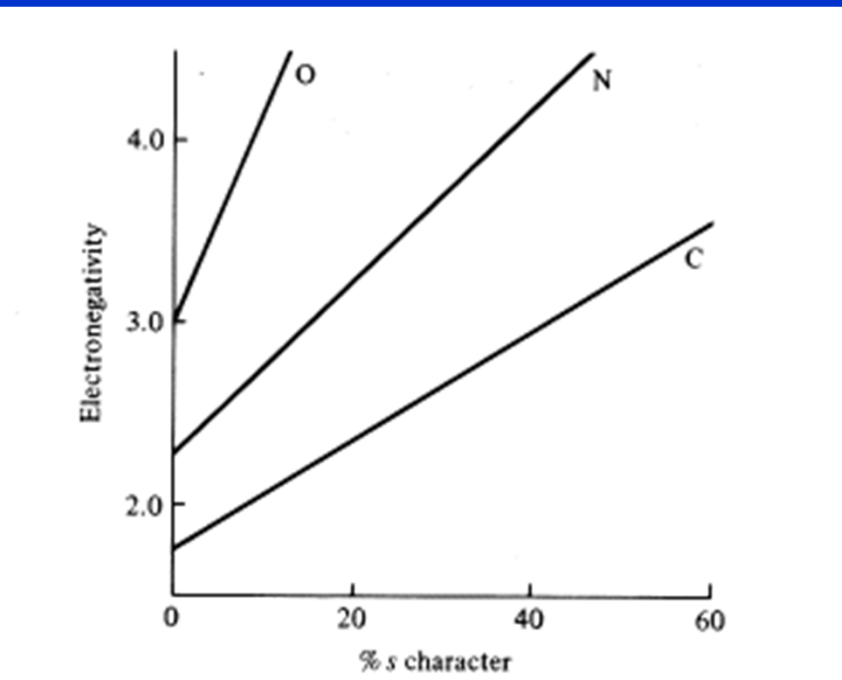
Vazebný úhel Hybridizace

| | | |
|----------------|---------------|------------------------|
| NH_3 | 107.3° | sp^3 |
| PH_3 | 93.8° | |
| AsH_3 | 91.8° | |
| SbH_3 | 91.3° | $\text{s} + 3\text{p}$ |
| | | |
| NF_3 | 102.5° | |
| | | |
| OH_2 | 104.5° | |
| OF_2 | 103.2° | |

Hybridizace a elektronegativita

| Hybridizace | % s | % p |
|-----------------|-----|-----|
| sp | 50 | 50 |
| sp ² | 33 | 66 |
| sp ³ | 25 | 75 |

↑
s-charakter ↑
p-charakter

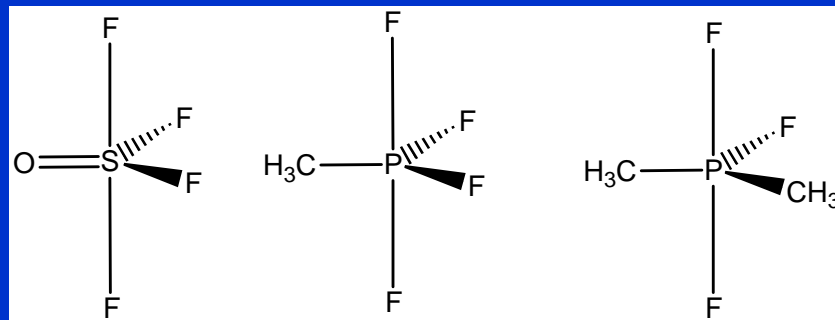


Elektron v s-orbitalu je vázán pevněji než v p-orbitalu

Orbital s vyšším s-charakterem má vyšší elektronegativitu

Bentovo pravidlo

Elektronegativnější substituenty preferují hybridní orbitaly s menším s-podílem a naopak elektropozitivní substituenty (lepší donory) preferují hybridní orbitaly s větším s-podílem.



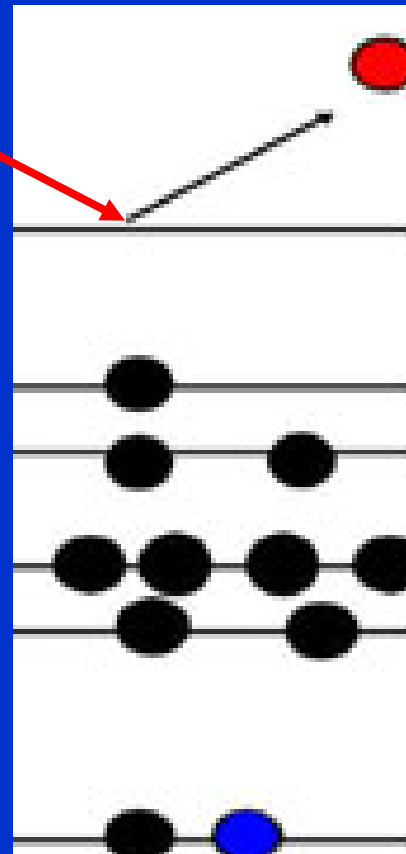
Lepší donory obsazují ekvatoriální rovinu v TBP (sp^2) a akceptorzy obsazují axiální polohy (pd).

Volný elektronový pár je nejlepší donor = substituent s nulovou elektronegativitou

PES = Fotoelektronová spektroskopie

$$h\nu = IE + E_{kin}$$

$h\nu$

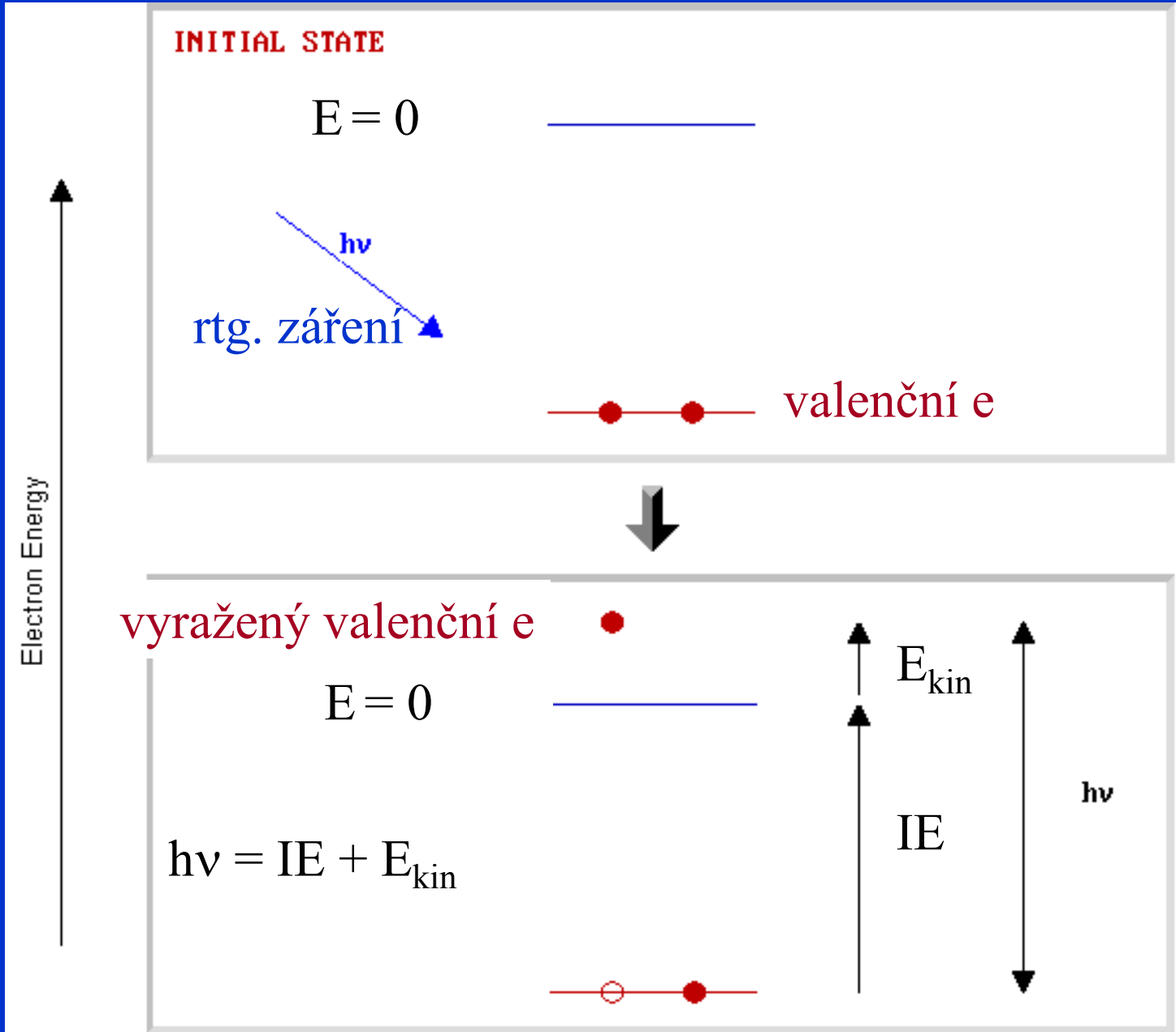


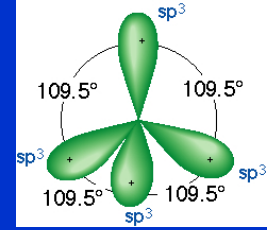
X-ray Fotoelektronová Spektroskopie (XPS)

- měkké rtg. záření (200 - 2000 eV)
vyráží vnitřní e

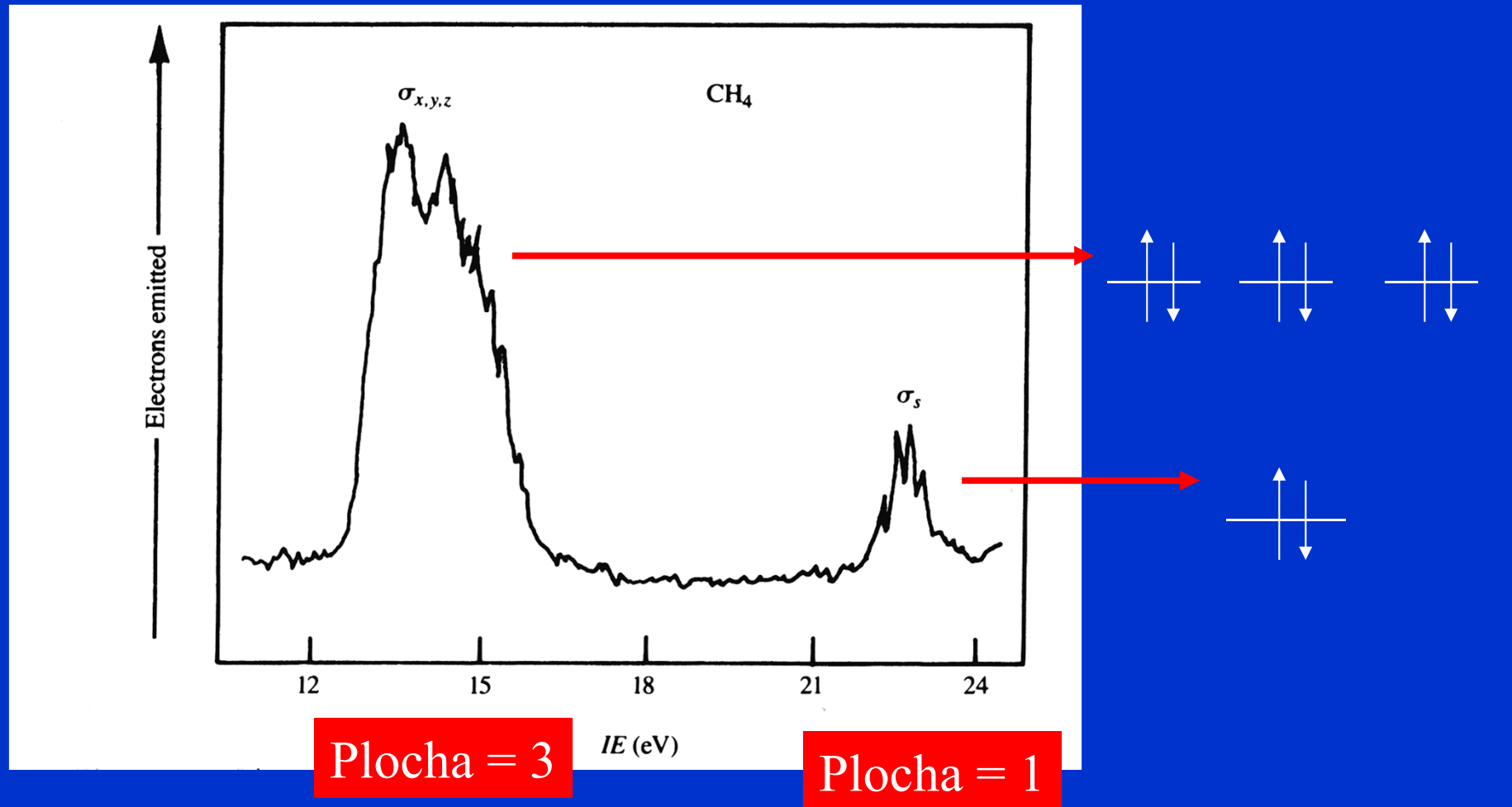
UV Fotoelektronová Spektroskopie (UPS)

- vakuové UV záření (10 - 45 eV)
vyráží valenční e.

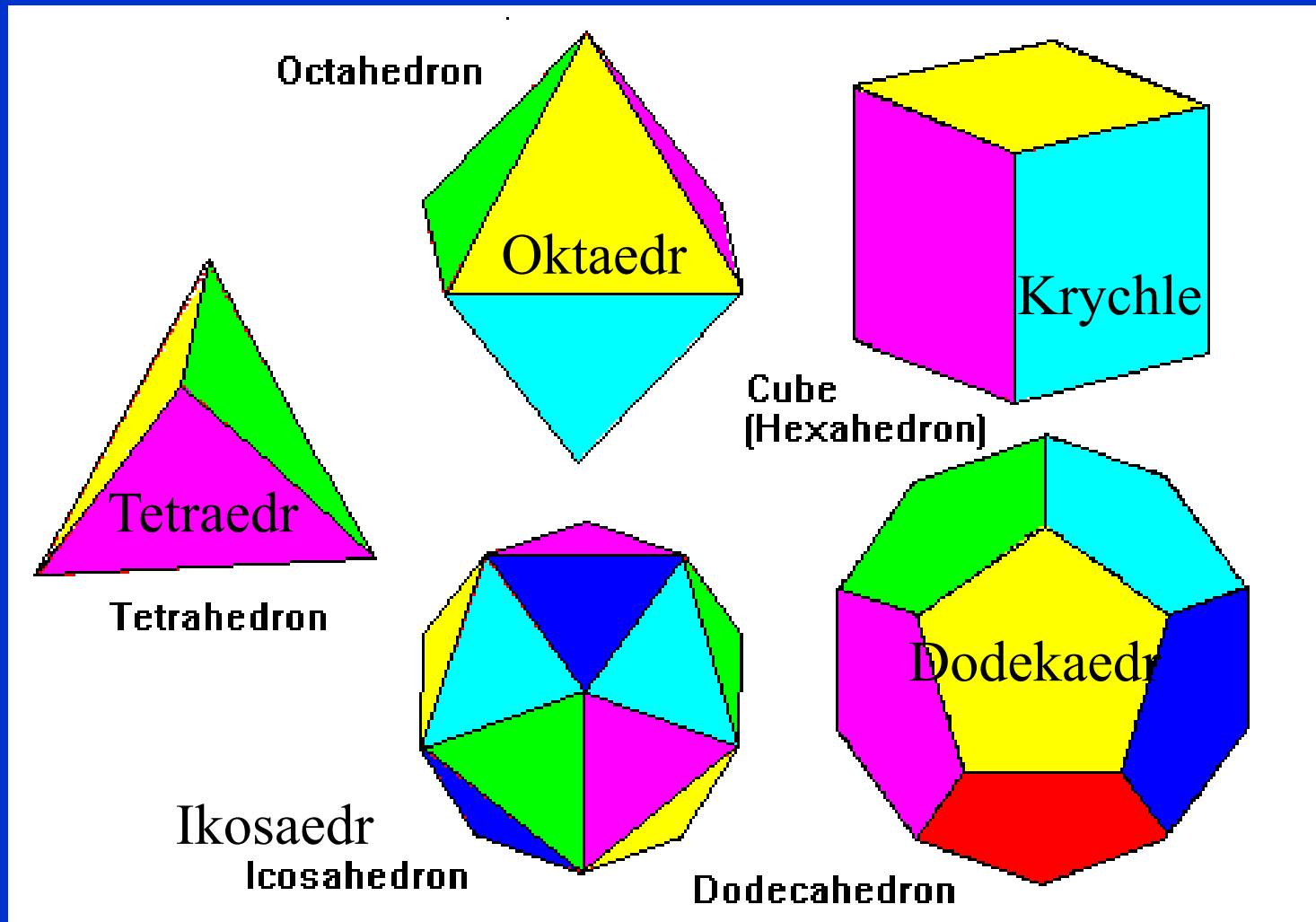




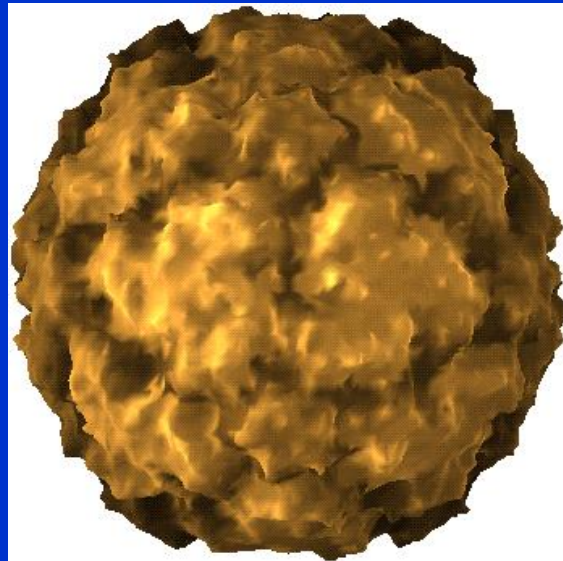
PES methanu nesouhlasí s modelem 4 sp^3



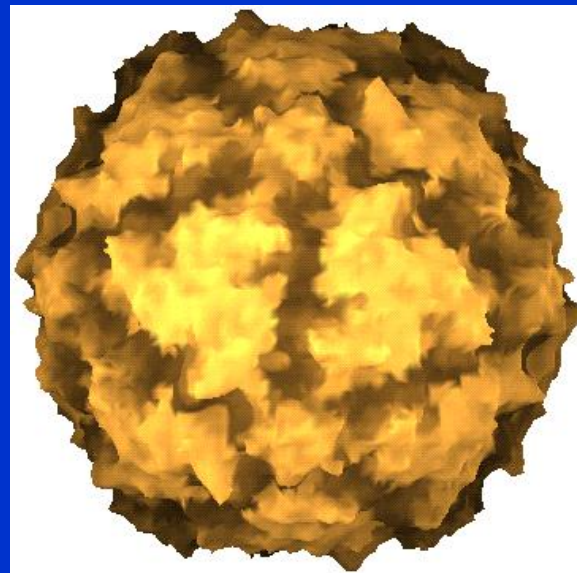
Symetrie – Platonovská tělesa



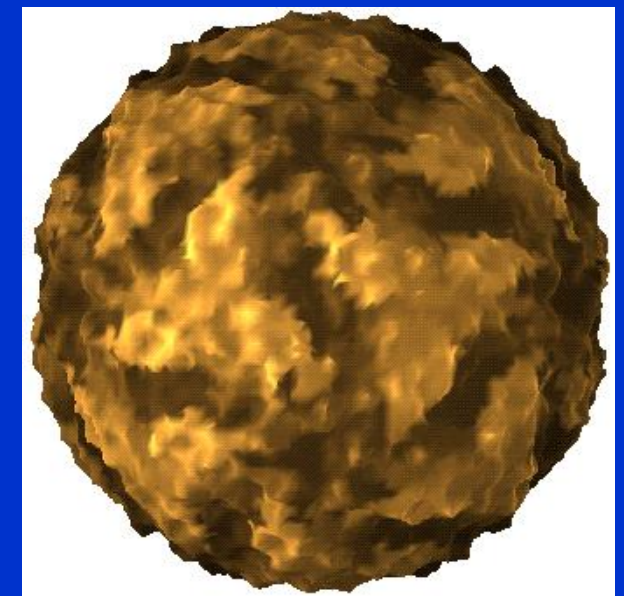
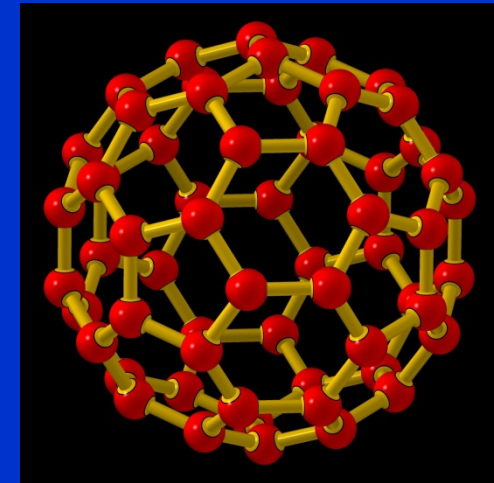
Symetrie



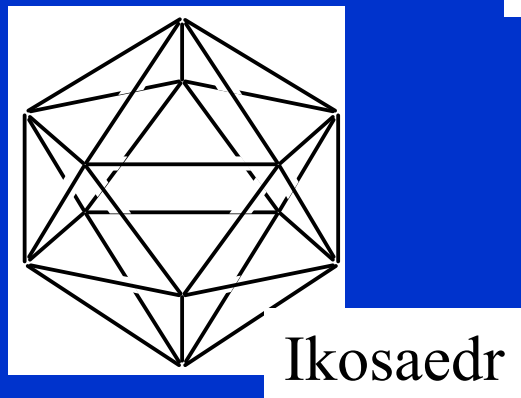
Virus rýmy



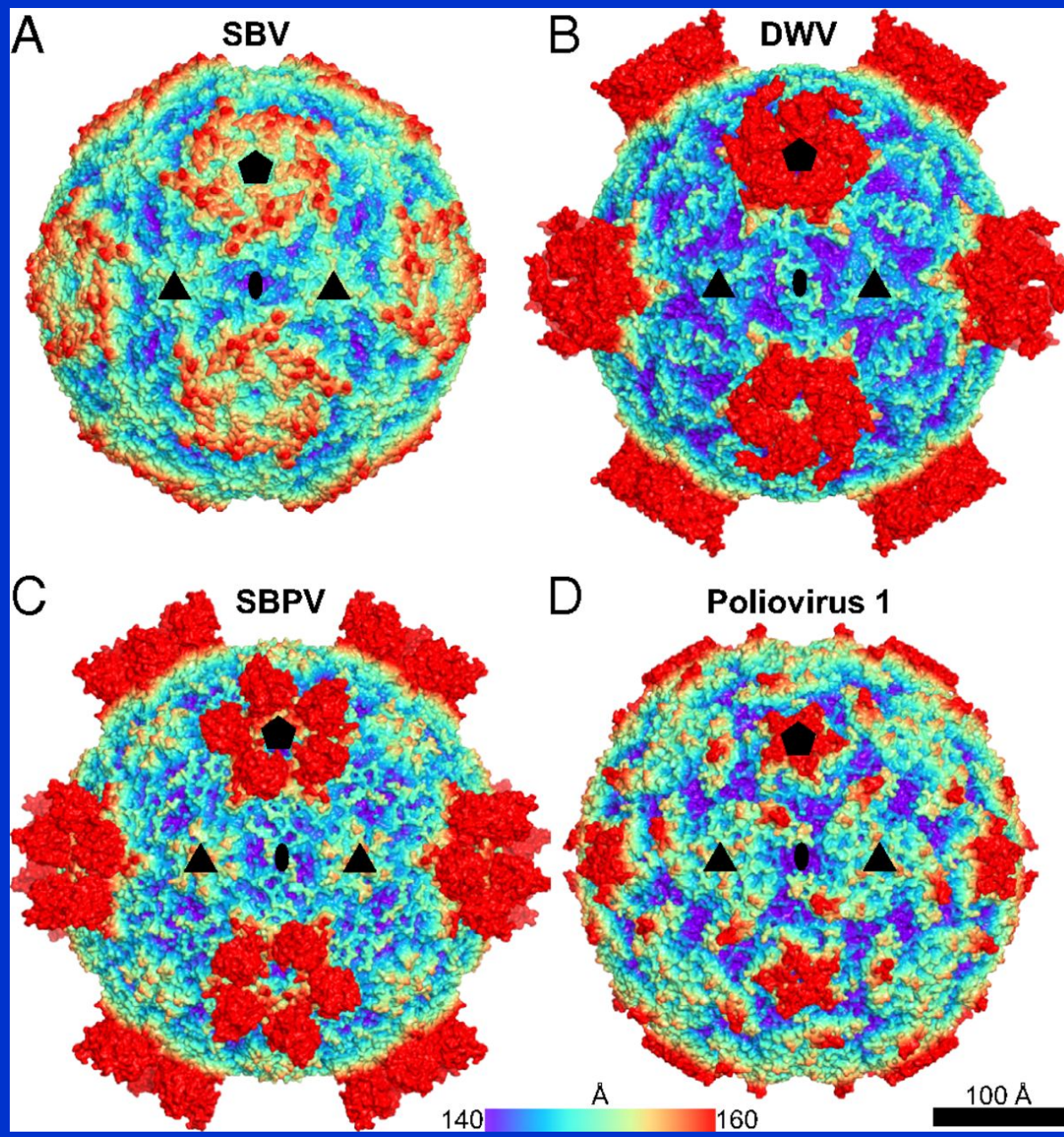
Virus obrny



Virus slintavky a kulhavky

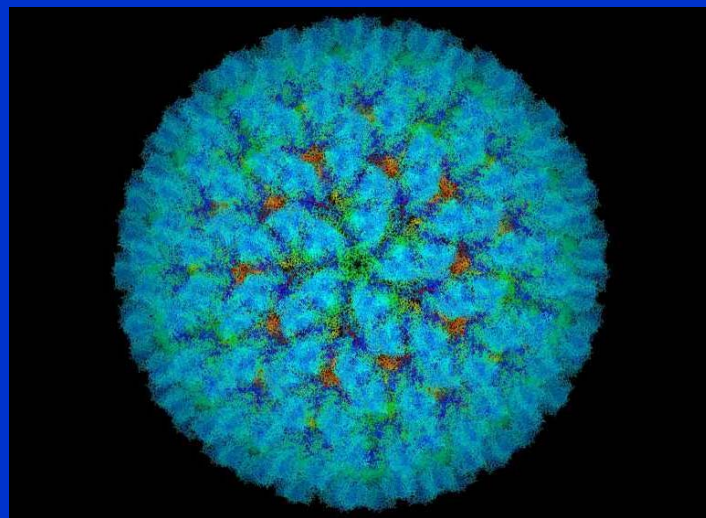
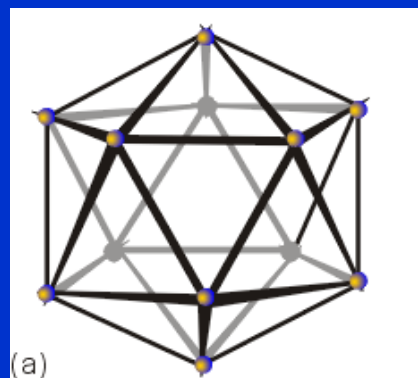
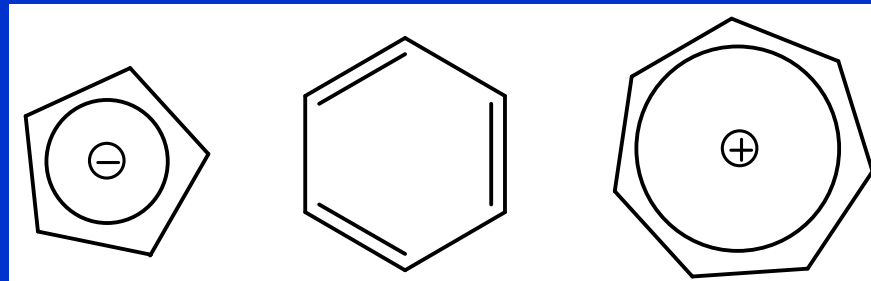
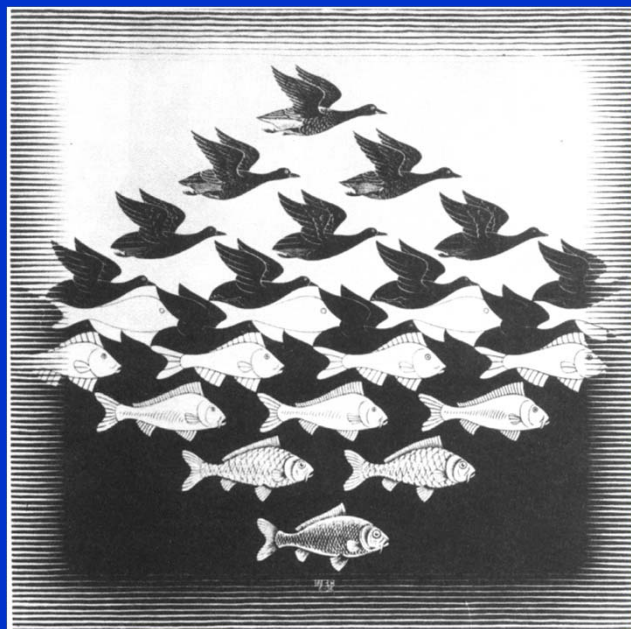


Ikosaedr



Symetrie molekul

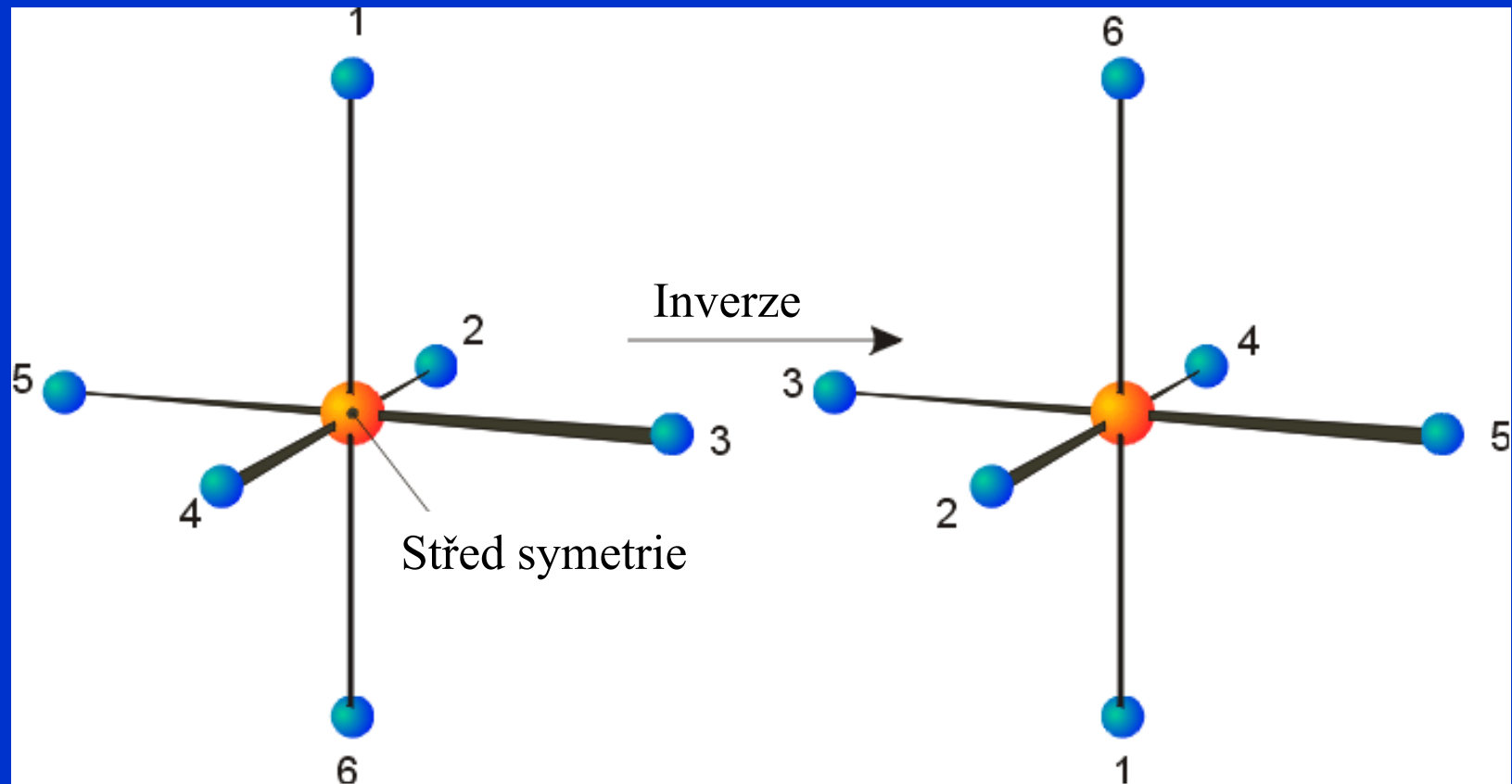
Jak jsou atomy v molekule uspořádány = ekvivalentní atomy



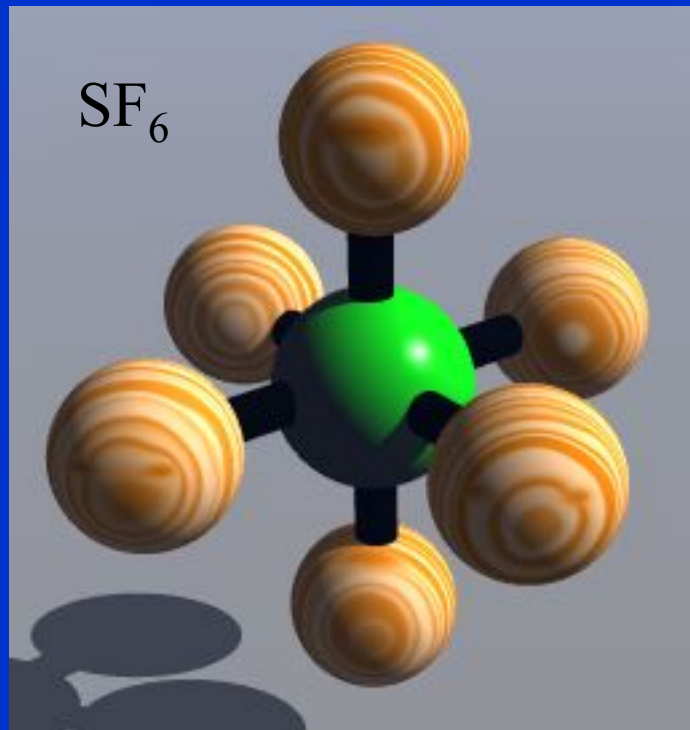
Prvky a operace symetrie

| Značka | Prvek | Operace | Pozn. |
|----------|--------------------------------------|-------------------------------|---|
| E | Identita | Identita | Bezezměny, (= 1) |
| i | Střed symetrie (inverze) BOD | Inverze | Převrácení přes střed |
| C_n | Rotační osa PŘÍMKA | Pravá (vlastní) rotace | Otočení o úhel $360/n$ |
| σ | Rovina symetrie, zrcadlová ROVINA | Zrcadlení, reflexe | Zrcadlení přes rovinu |
| S_n | Zrcadlově-rotační osa PŘÍMKA | Nepravá (nevlastní) rotace | Otočení o úhel $360/n$ následované zrcadlením |

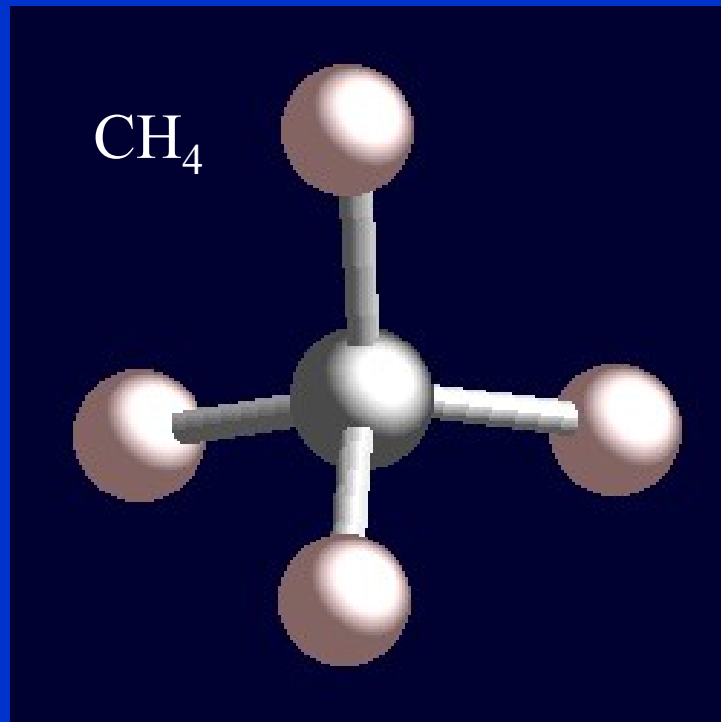
Střed symetrie



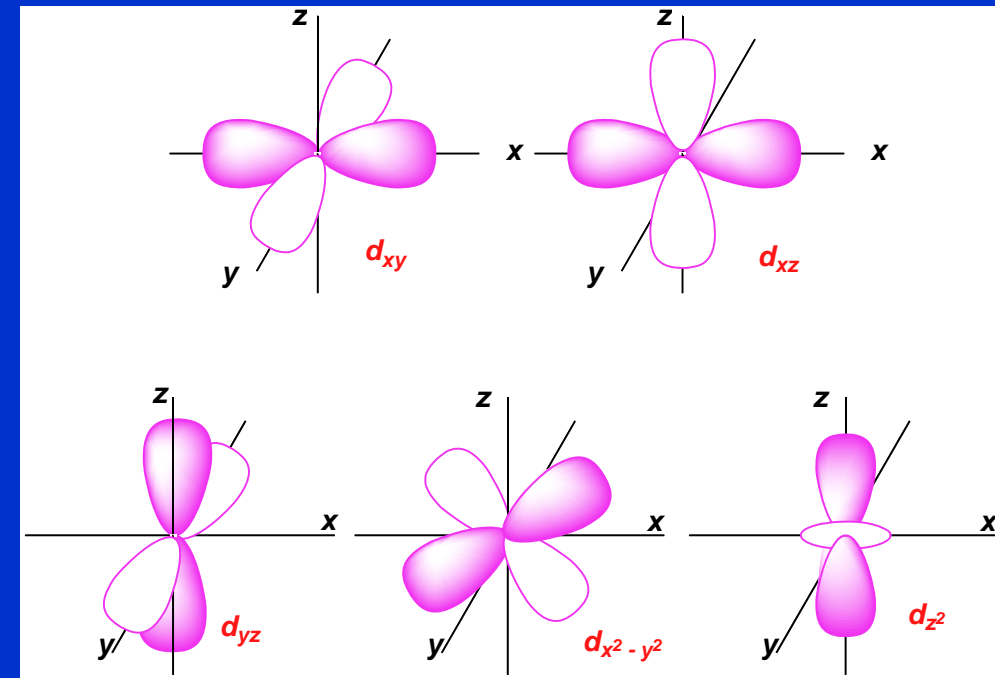
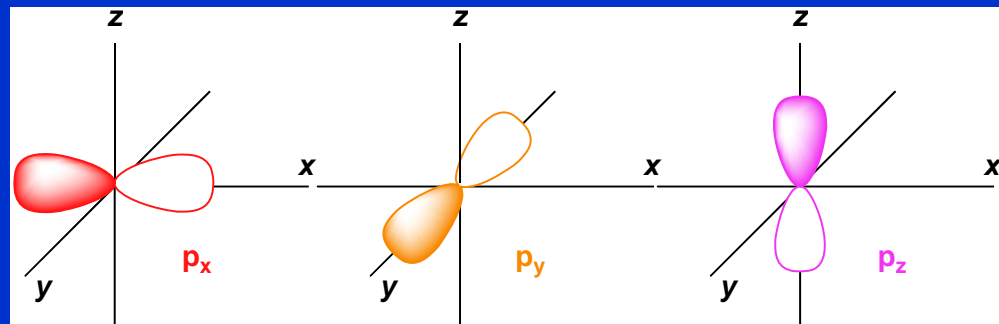
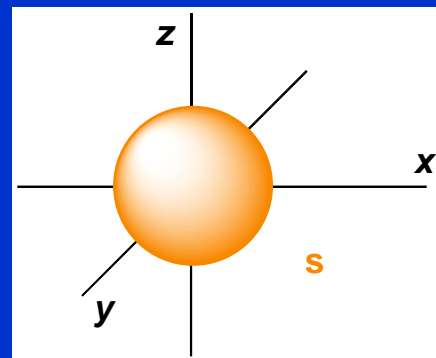
Střed symetrie



S = střed symetrie



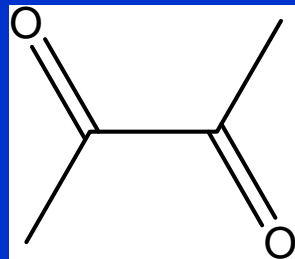
Nemá střed symetrie



Orbitaly

s a d **mají i** (střed symetrie)

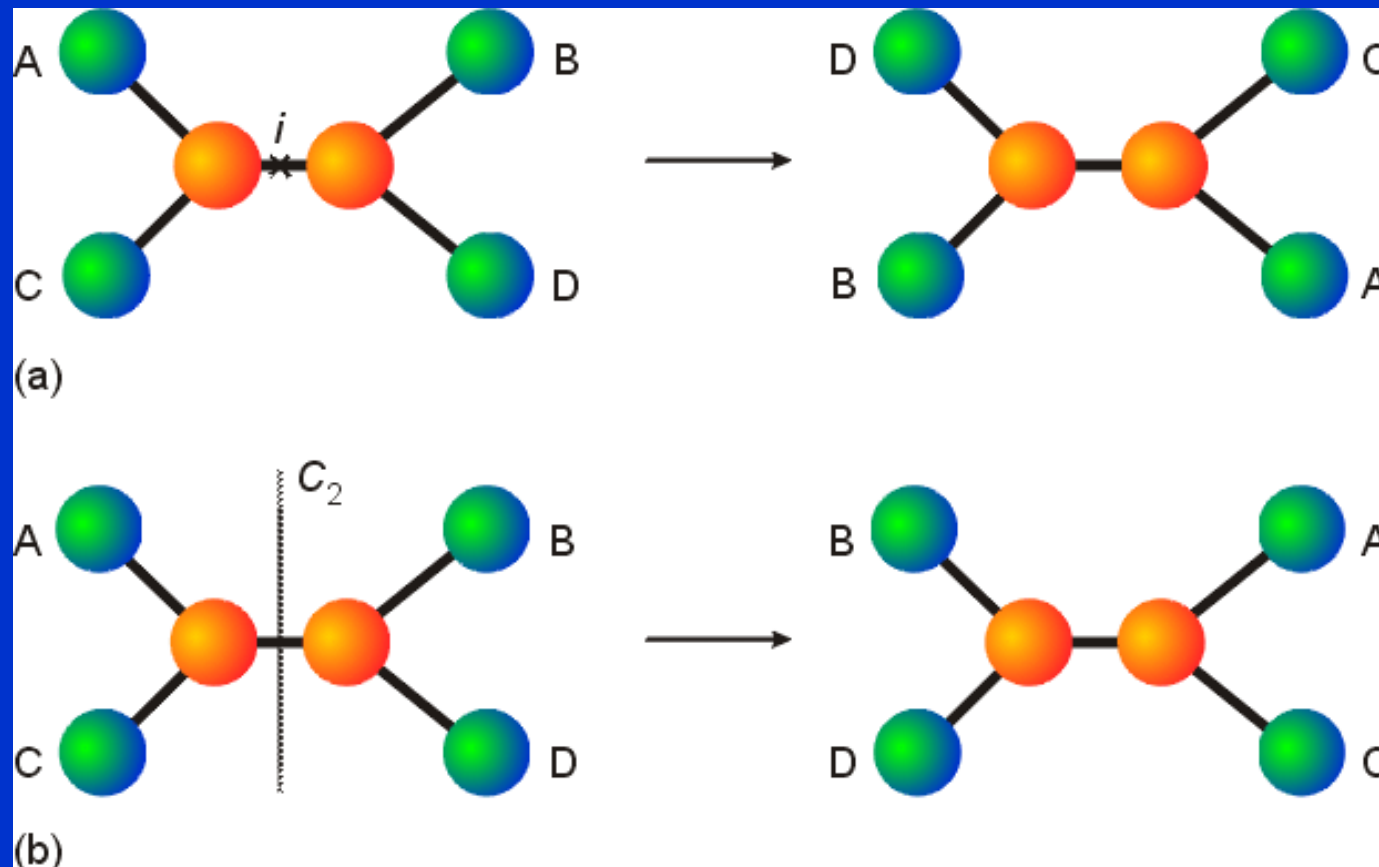
p a f nemají *i* (střed symetrie)



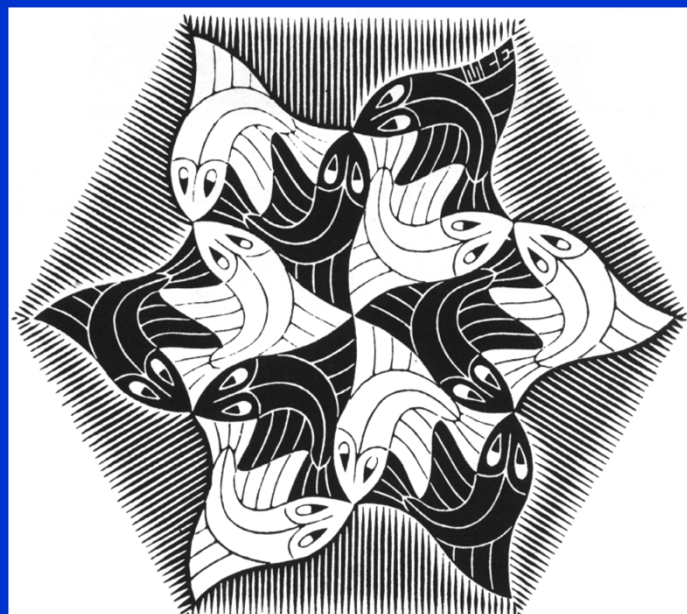
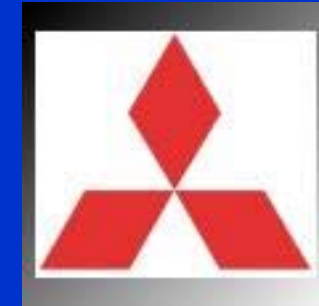
Rotační osa C_2



Rotace o úhel $360/n$. Vzniklá situace je nerozlišitelná od výchozí.

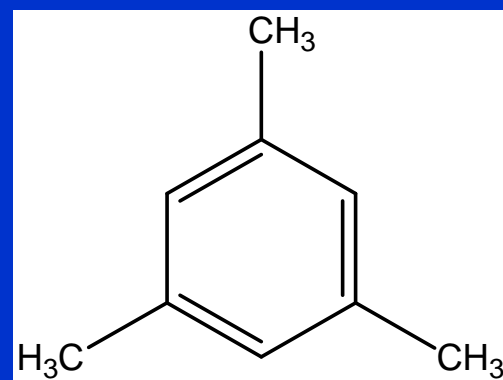
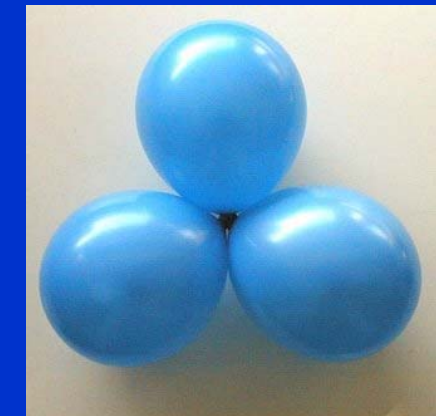
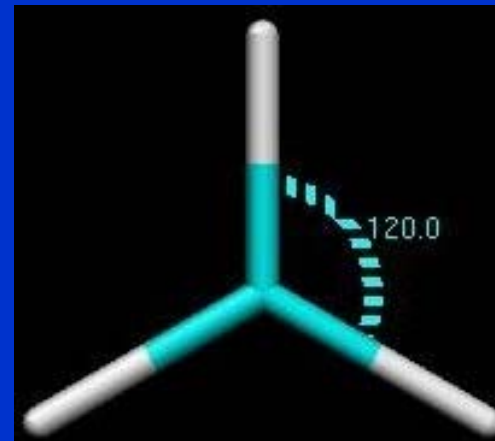


Rotační osa C_3



Rotace o úhel $360/n$

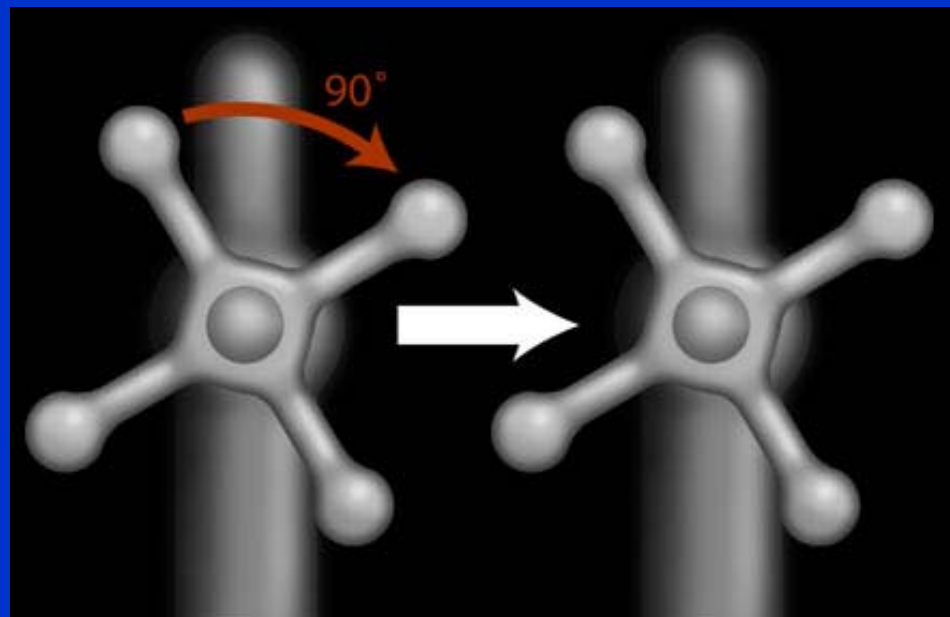
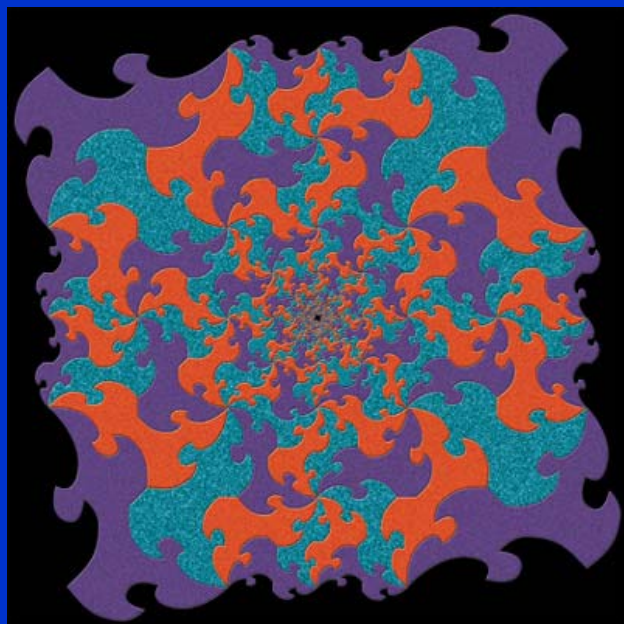
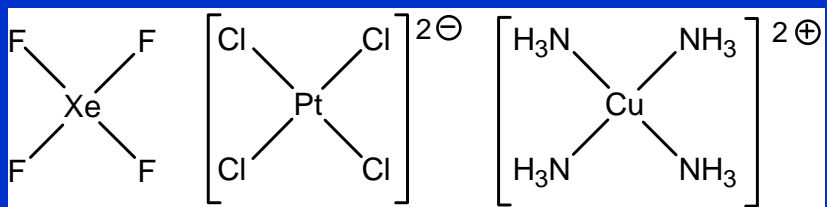
Vzniklá situace je
nerozlišitelná od výchozí



Rotační osa C_4

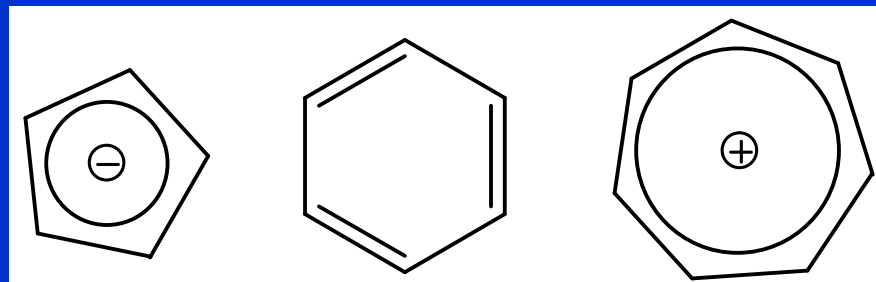
Rotace o úhel $360/4$.

Vzniklá situace je nerozlišitelná od výchozí.

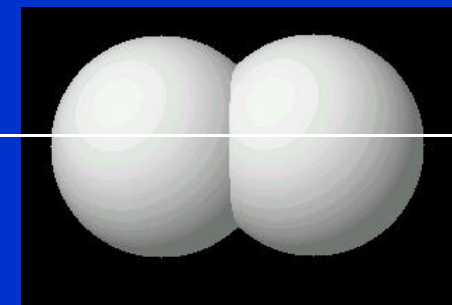


$$C_4^1 \rightarrow C_4^2 \rightarrow C_4^3 \rightarrow C_4^4 = E$$

Rotační osa C_n



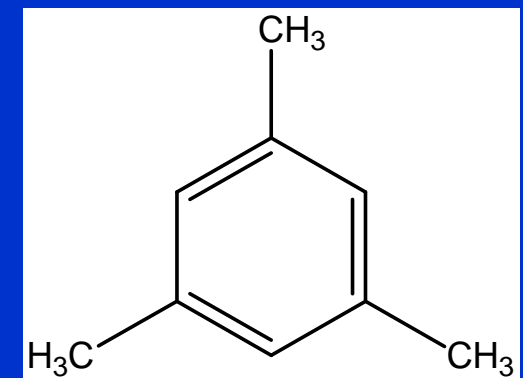
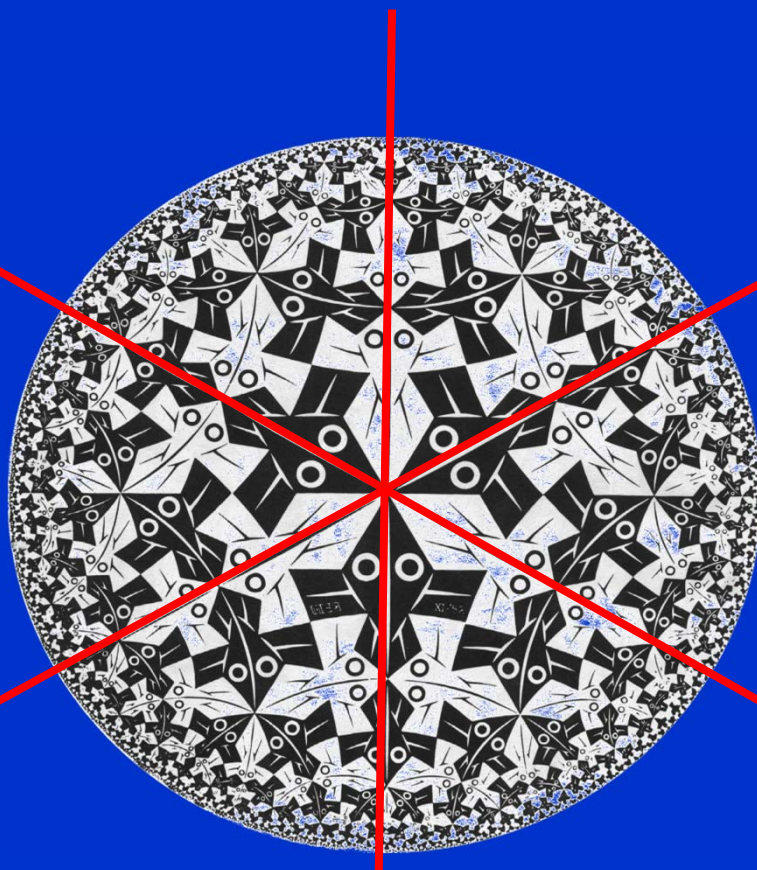
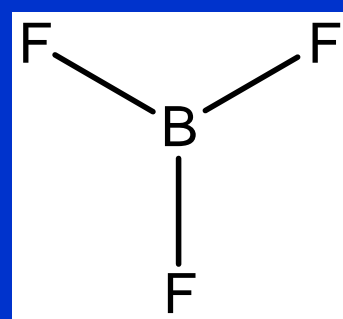
$C_5, C_6, C_7, \dots \dots \dots C_\infty$



Lineární molekuly



Rovina symetrie σ



Roviny symetrie σ

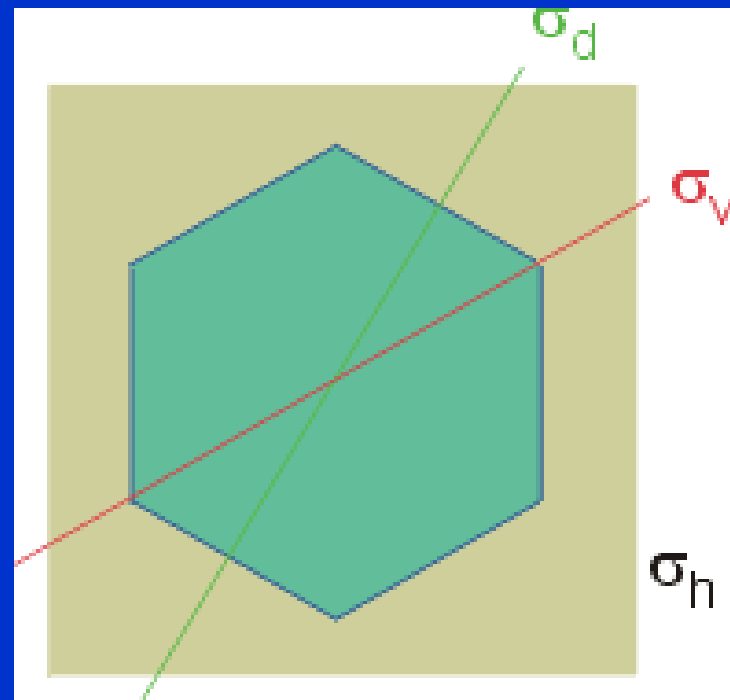
Každá planární molekula má rovinu symetrie ve které leží

σ_h = kolmá k hlavní rotační ose

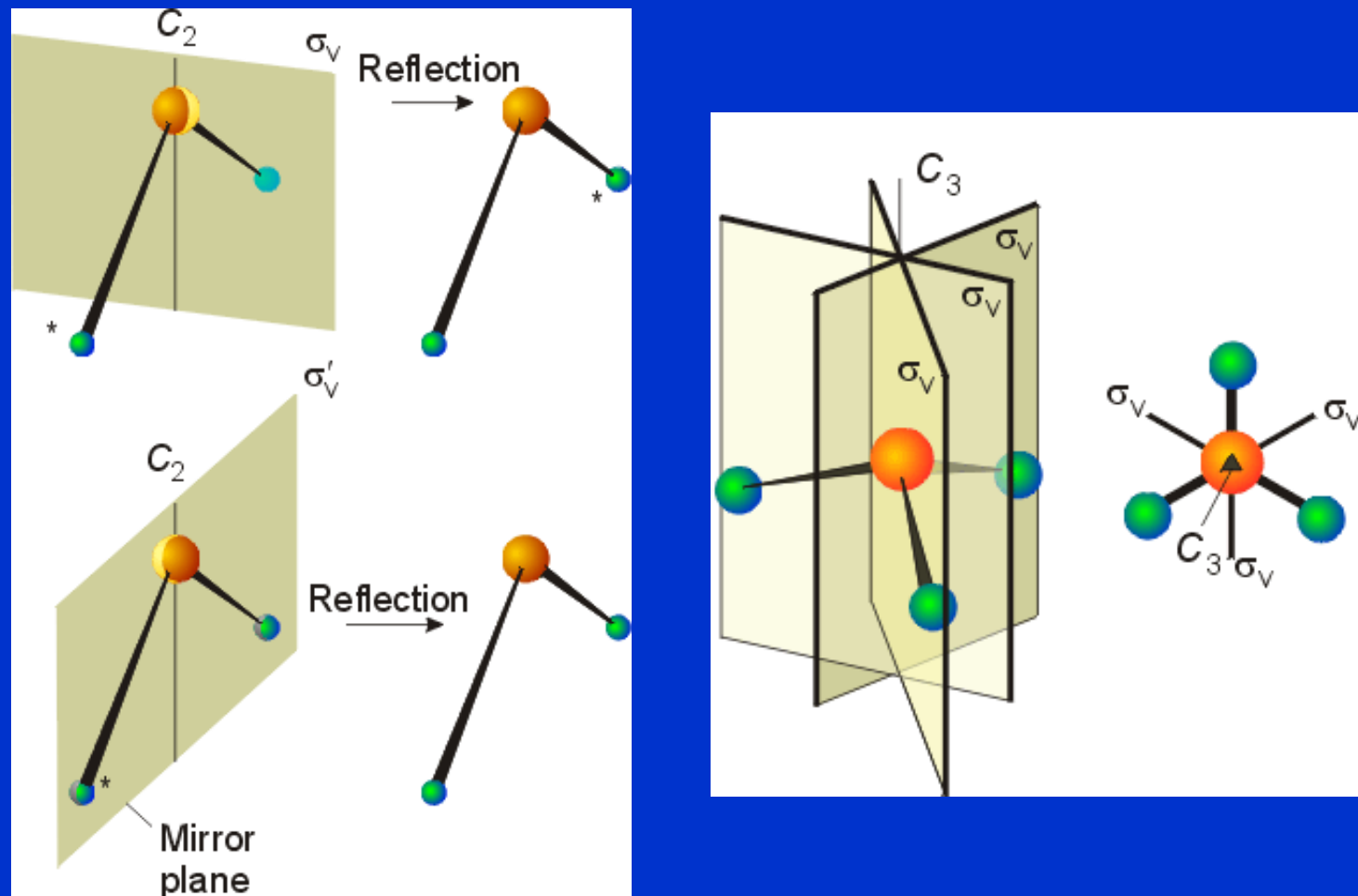
σ_v = obsahuje hlavní rotační osu, protíná nejvíce atomů

σ_d = obsahuje hlavní rotační osu, půlí úhly mezi C_2 osami kolmými na hlavní rotační osu

Všechny σ prochází počátkem



Roviny symetrie σ

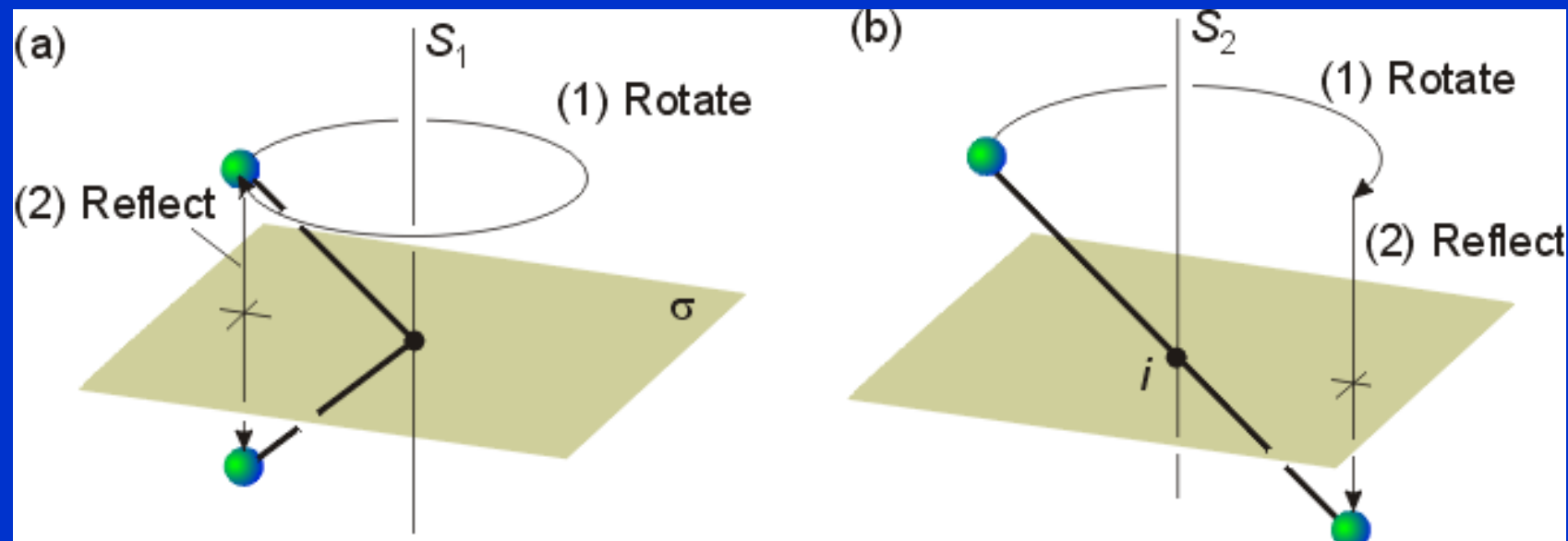


Zrcadlově-rotační osa S_n

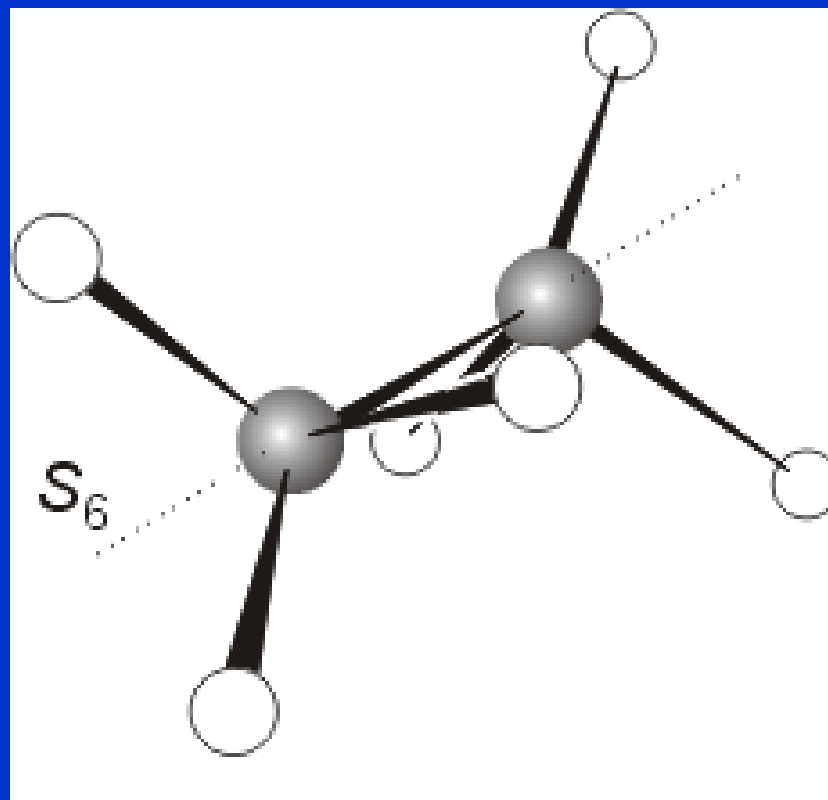
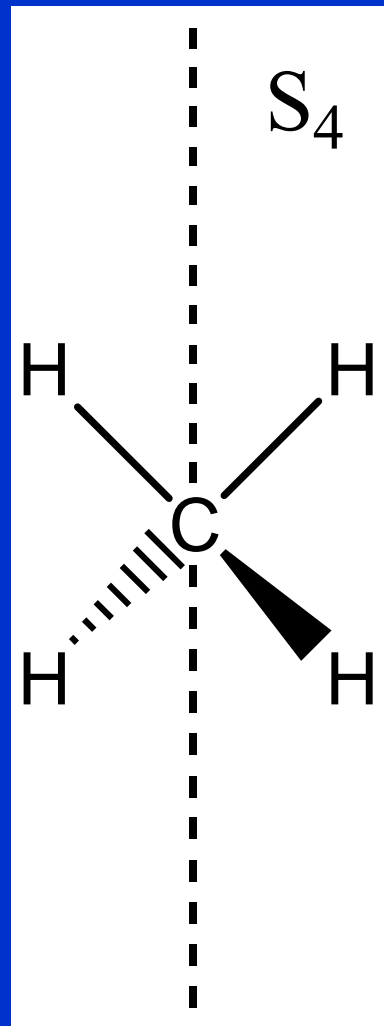
Postupné provedení dvou operací – rotace a zrcadlení

$$S_1 = C_1 \times \sigma = \sigma$$

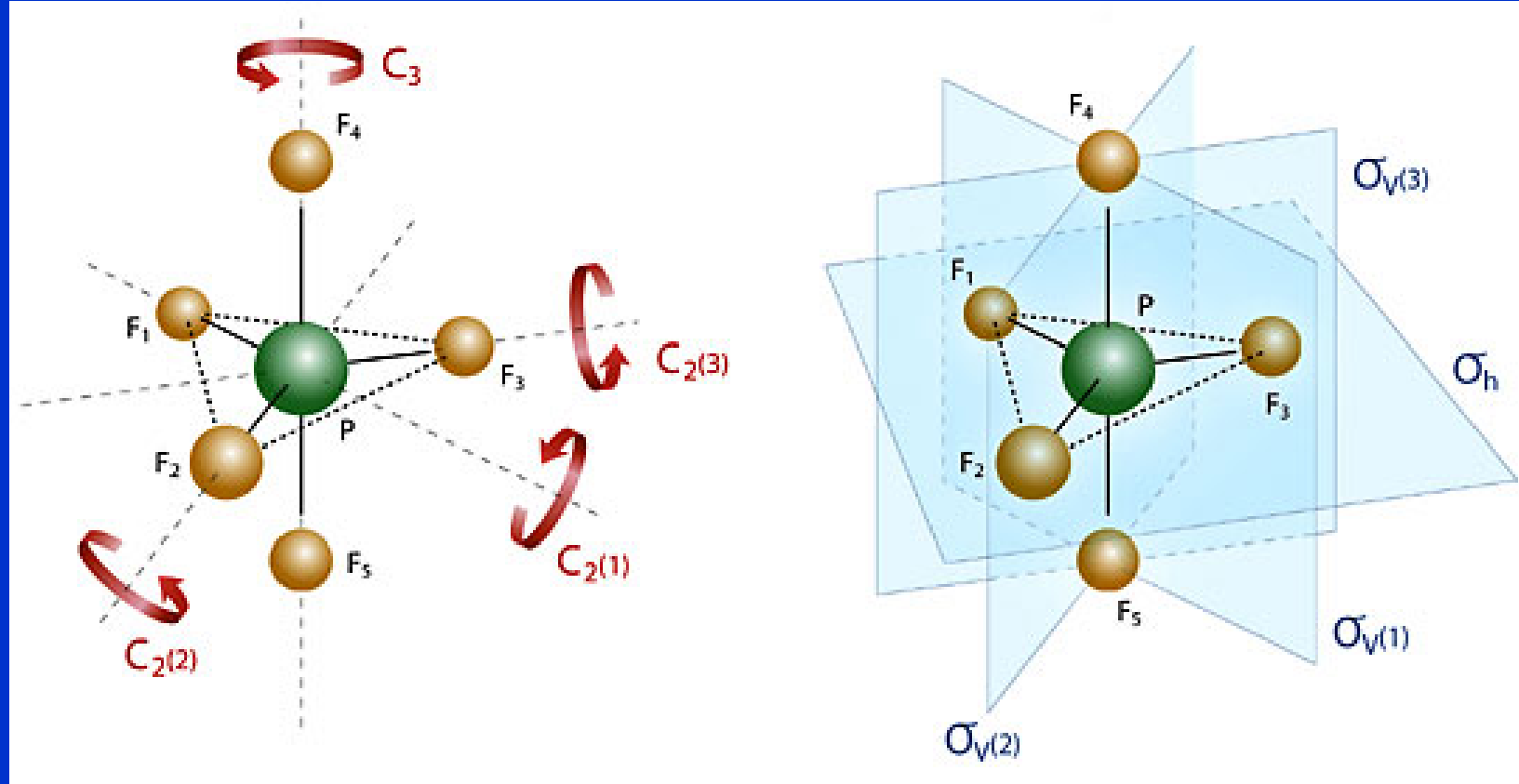
$$S_2 = C_2 \times \sigma = i$$



Zrcadlově-rotační osa S_n



Prvky symetrie v molekule



Ekvivalentní atomy = jsou zaměňovány operacemi symetrie

$$F_4 = F_5$$

$$F_1 = F_2 = F_3$$

Chiralita



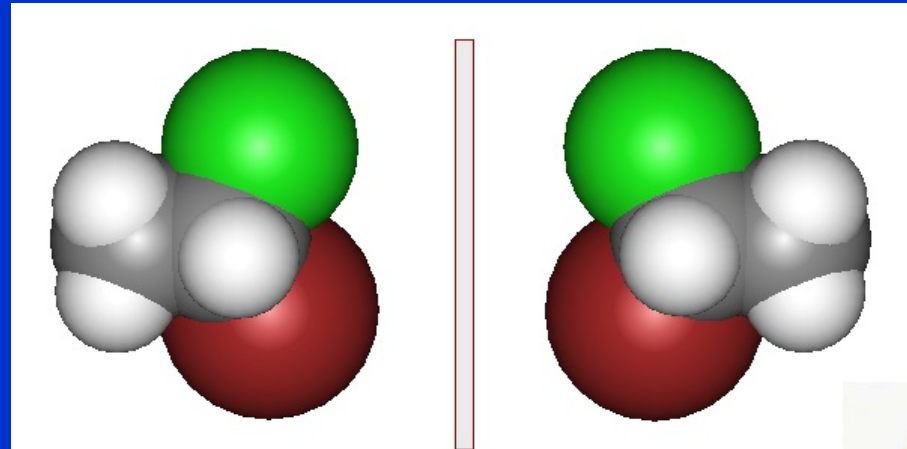
Figure 2. The Founding Fathers. R. M. Barrer (1910–1996) (right) and R. M. Milton (1920–2000) photographed

Chiralita

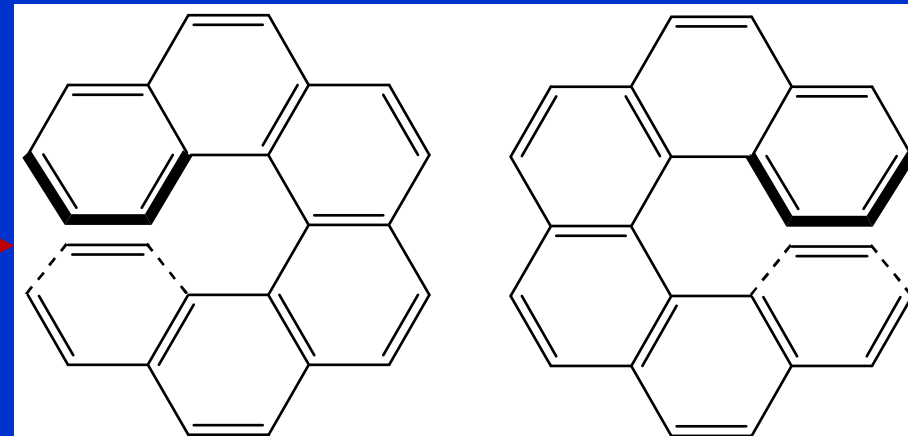
Podmínka chirality: v molekule není přítomna S_n

$$S_1 = \sigma$$

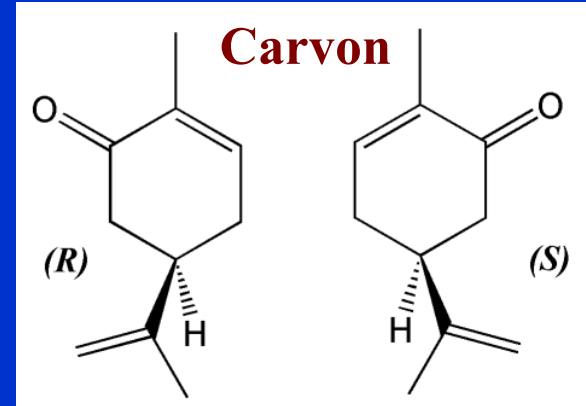
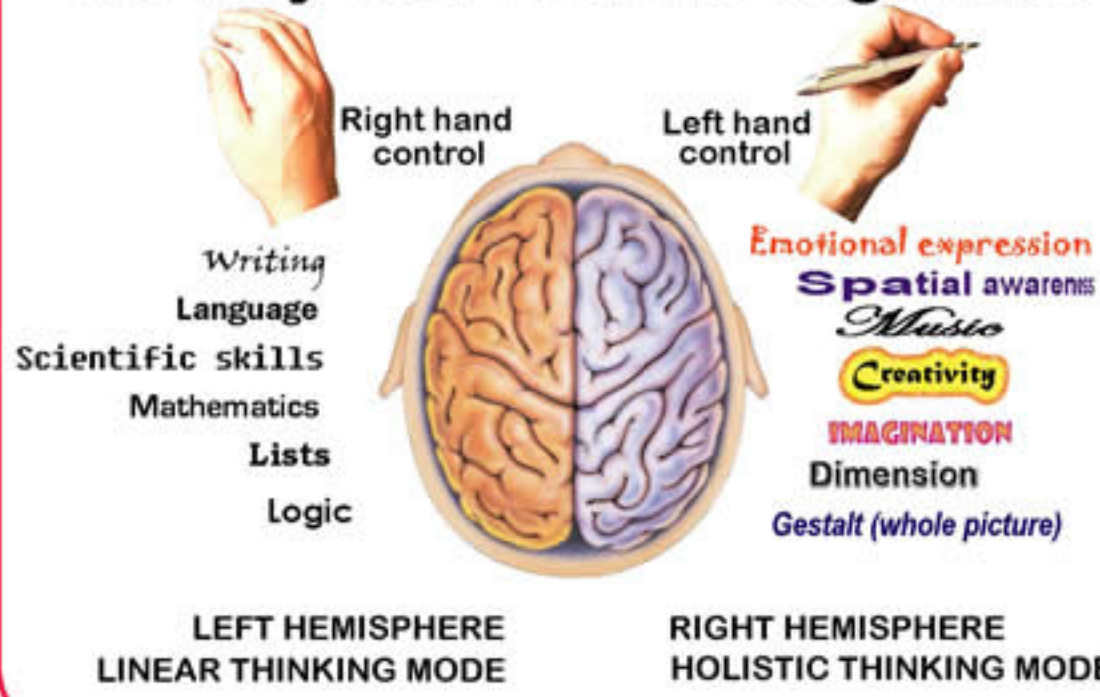
$$S_2 = i$$



C_2 →

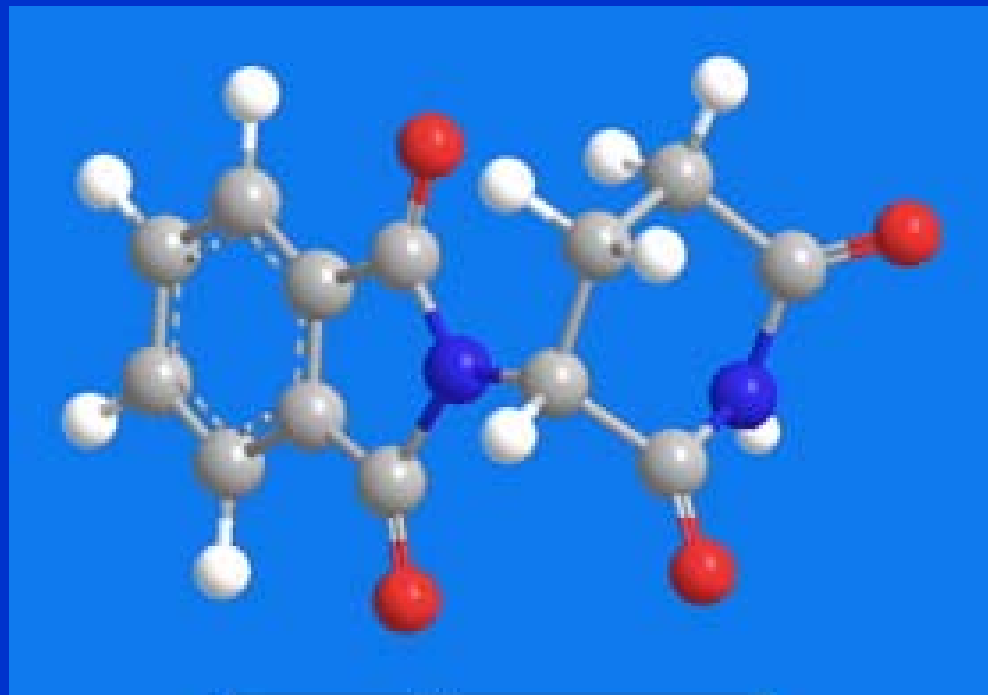


The Way Your Brain Is Organised



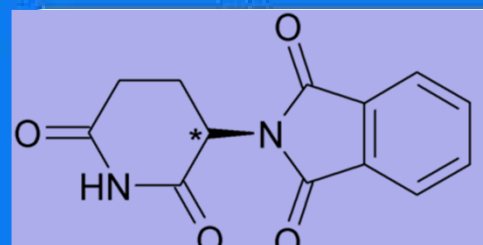
(R): Máta (S): Kmín

Thalidomide

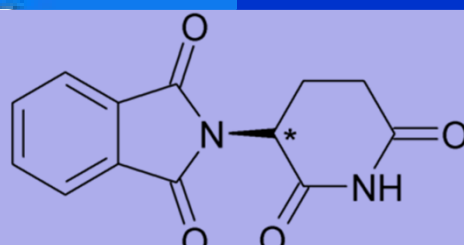


(*R*)-enantiomer
lék na ranní nevolnost

(*S*)-enantiomer
je teratogenní

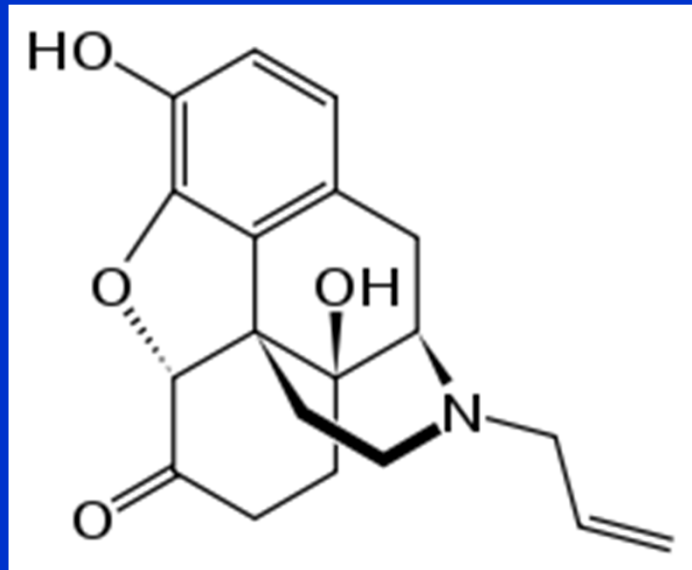


R-Enantiomer

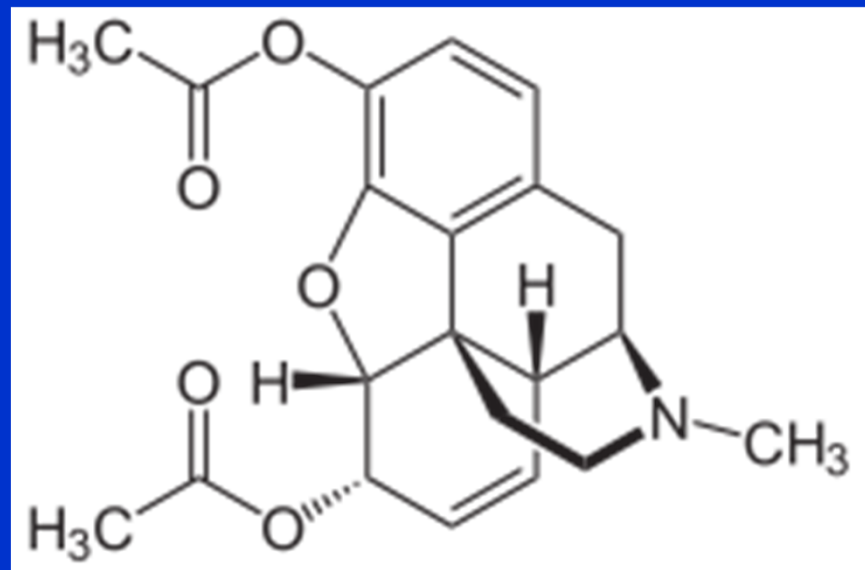


S-Enantiomer

Chiralita



Naloxone

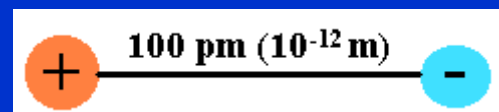


Heroin

Dipolový moment

$$\mu = q L \text{ vektor [C m]}$$

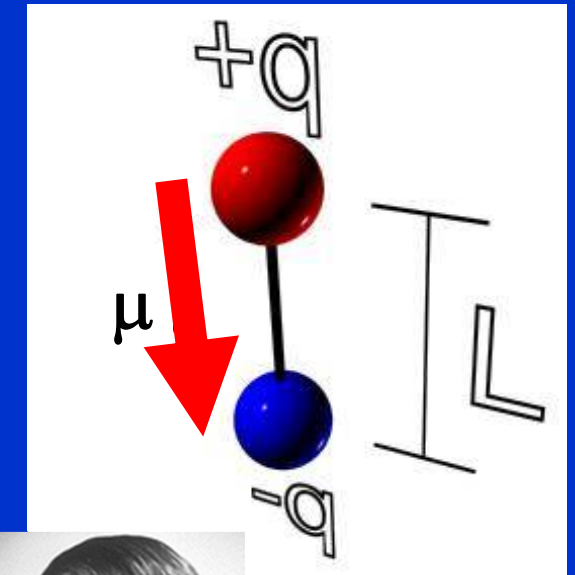
$$1 \text{ D debye} = 3.33564 \cdot 10^{-30} \text{ C m}$$



proton a elektron, vzdáleny 1 Å

$$\begin{aligned}\mu &= q L = (1.60 \cdot 10^{-19} \text{ C})(1.00 \cdot 10^{-10} \text{ m}) \\ &= 1.60 \cdot 10^{-29} \text{ C m} = \mathbf{4.80 \text{ D}}\end{aligned}$$

dipolový moment **4.80 D**
je referenční hodnota, čisté +1 a -1
náboje vzdálené 100 pm, vazba mezi nimi
je 100% iontová

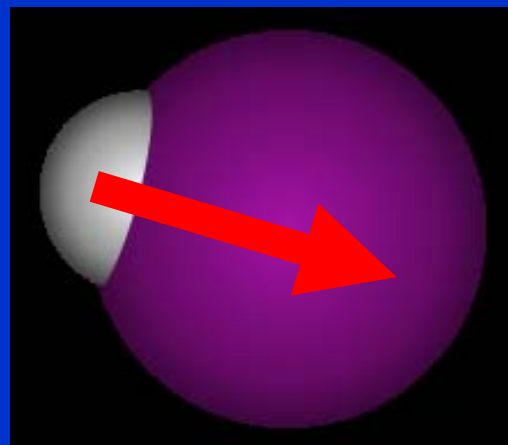


Peter Debye (1884-1966)
1936 NP za chemii

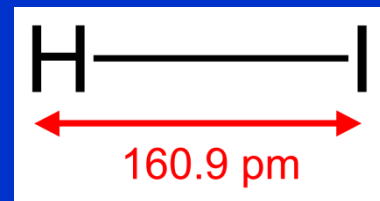
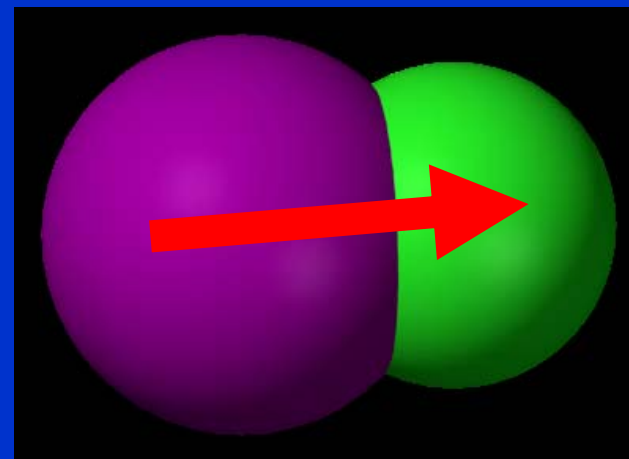
Zahřívání v MW

Dipolové momenty diatomických molekul

H–I



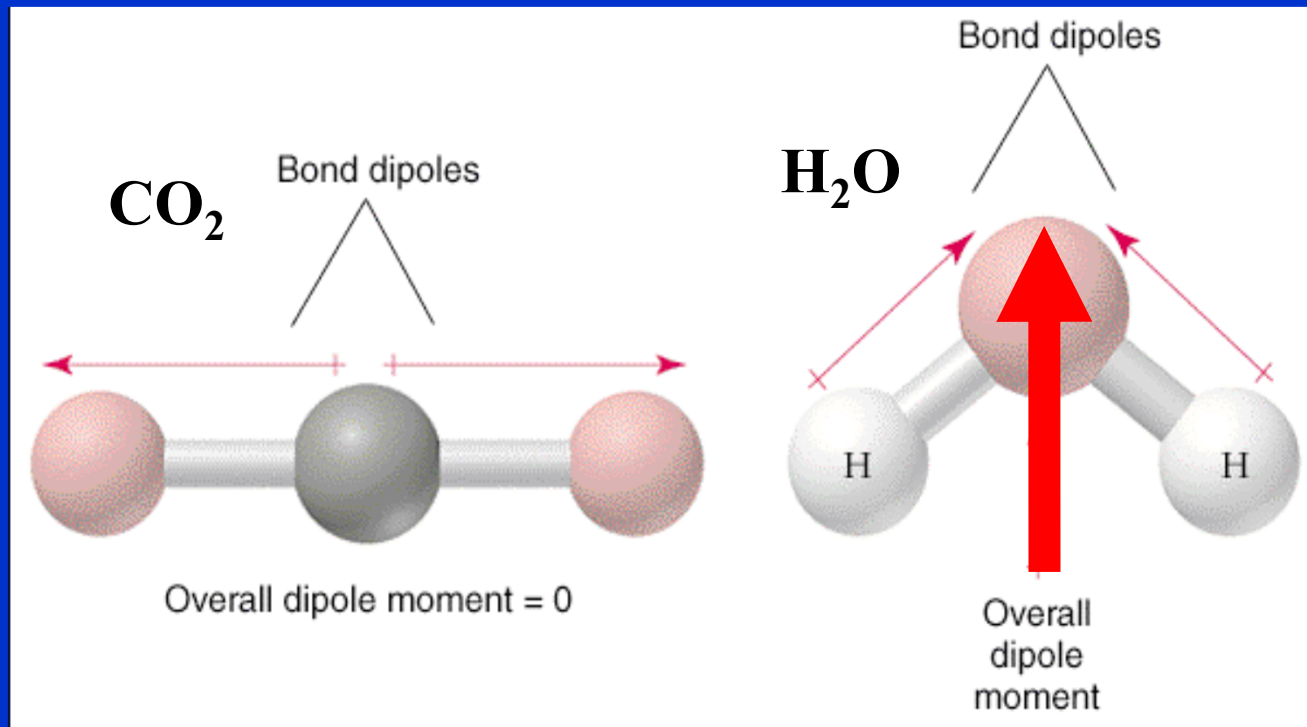
I–Cl



Dipolový moment polyatomické molekuly

Dipolový moment molekuly = vektorový součet dipolových momentů vazeb a volných elektronových párů

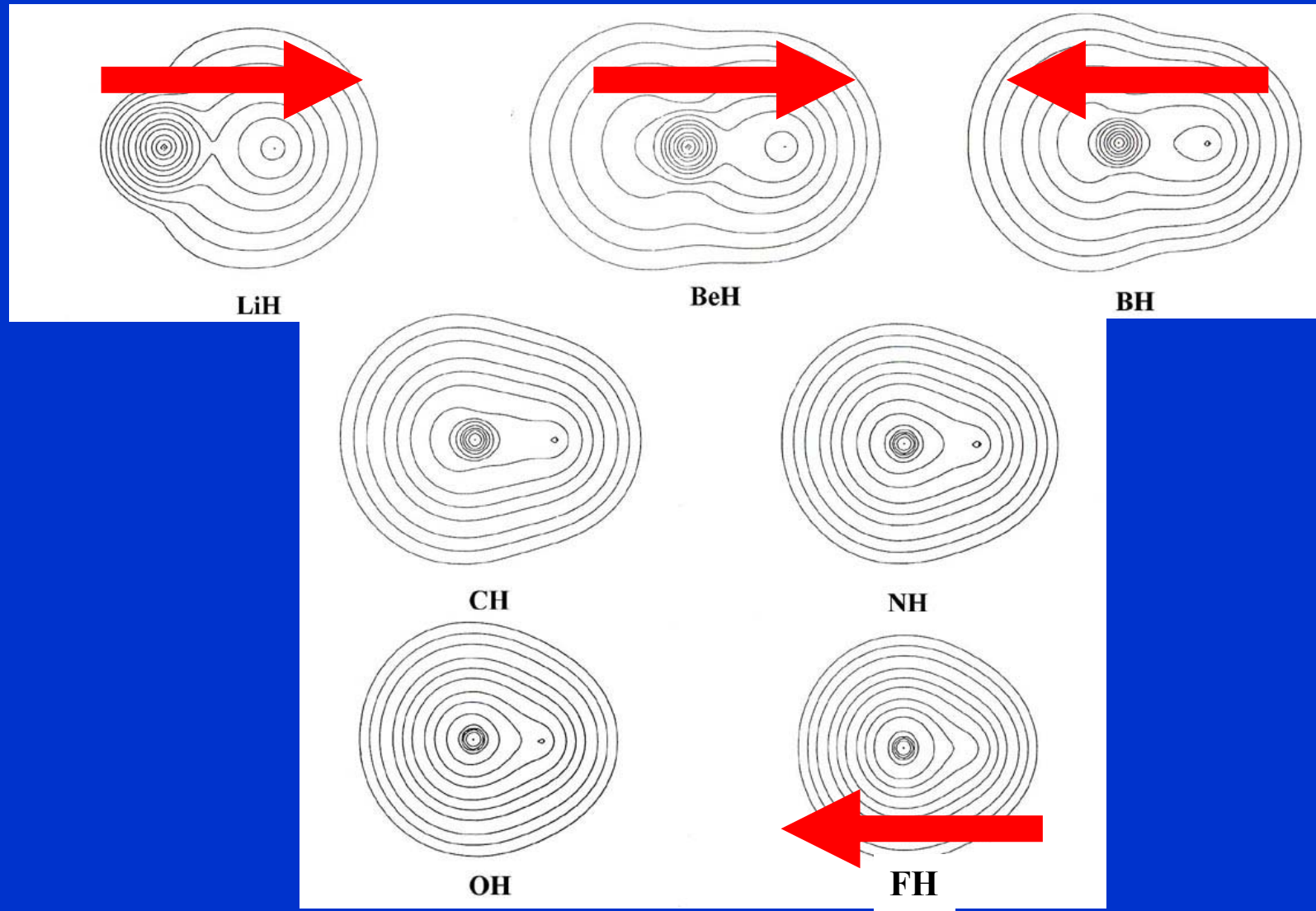
Míra nerovnoměrnosti rozložení náboje v molekule



Dipolové momenty diatomických molekul

| AH | μ (Debye) | R (Å) |
|-----|---------------|--------|
| LiH | -6.002 | 1.595 |
| BeH | -0.282 | 1.343 |
| BH | 1.733 | 1.236 |
| CH | 1.570 | 1.124 |
| NH | 1.627 | 1.038 |
| OH | 1.780 | 0.9705 |
| FH | 1.942 | 0.9171 |

negativní nebo pozitivní znaménko pro $\mu \Rightarrow$ H je negativní nebo pozitivní konec dipolu.



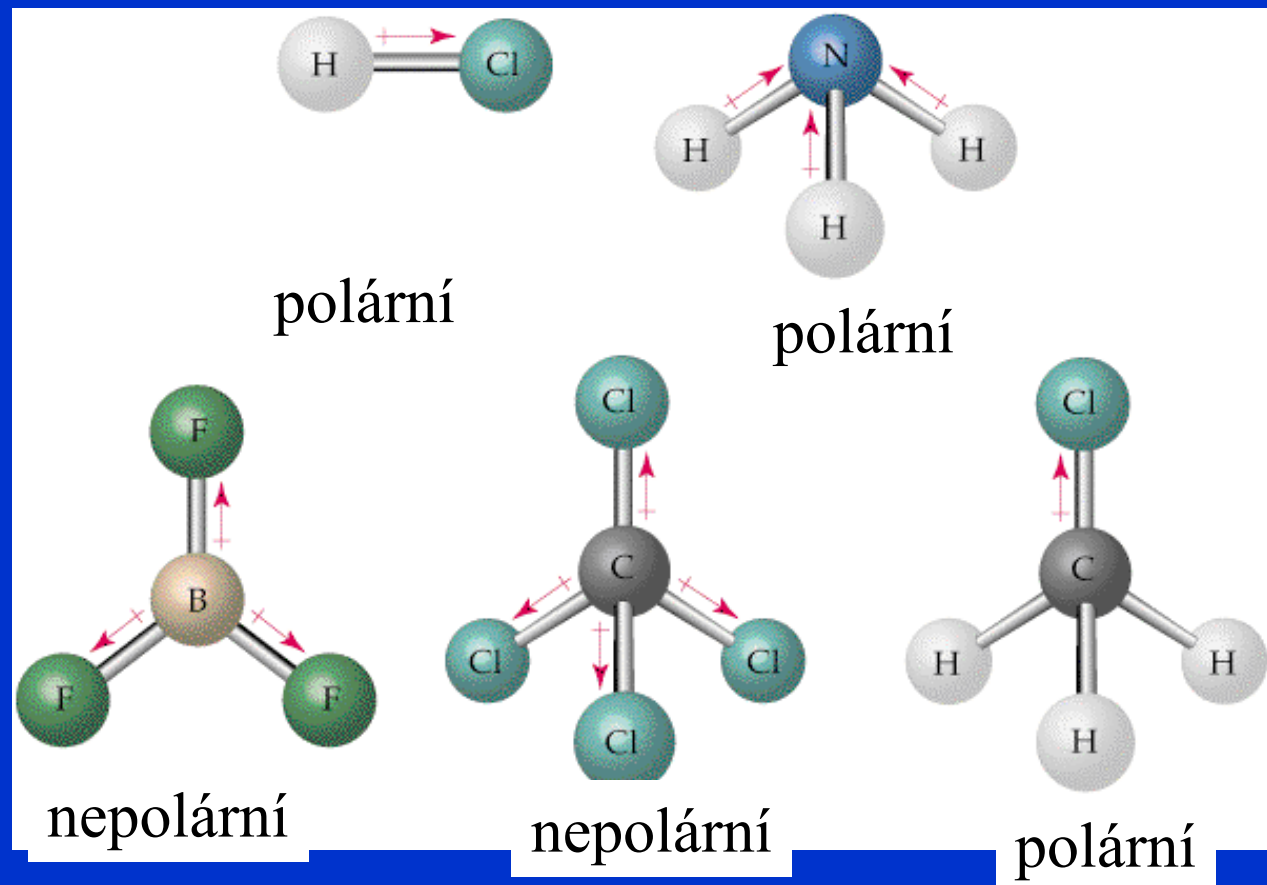
Dipolový moment vazeb

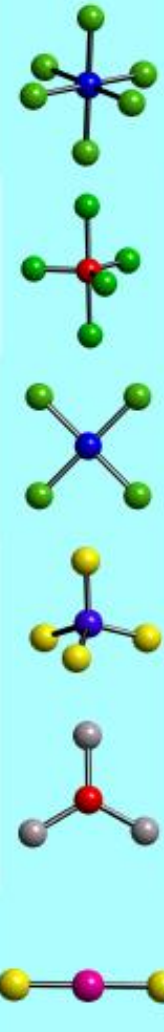
Rozdíl elektronegativit vazebních partnerů

| Enlace | $\chi_A - \chi_B$ | μ (D) | Enlace | $\chi_A - \chi_B$ | μ (D) | Enlace | $\chi_A - \chi_B$ | μ (D) |
|--------|-------------------|-----------|--------|-------------------|-----------|--------|-------------------|-----------|
| C-H | 0.30 | 0.4 | N=C | | 0.9 | Br-P | 0.68 | 0.36 |
| N-H | 0.87 | 1.31 | N≡C | | 3.5 | I-P | 0.15 | 0 |
| N-D | | 1.30 | O-C | 1.00 | 0.74 | O=As | | 4.2 |
| H-P | 0.14 | 0.36 | O=C | | 2.3 | F-As | 1.90 | 2.03 |
| H-As | 0 | 0.10 | C-S | 0.06 | 0.9 | Cl-As | 0.63 | 1.64 |
| H-Sb | 0.38 | 0.08 | C=S | | 2.6 | Br-As | 0.54 | 1.27 |
| O-H | 1.30 | 1.51 | C-Se | 0.02 | 0.8 | I-As | 0.01 | 0.78 |
| O-D | | 1.50 | C-Te | 0.49 | 0.6 | Cl-Sb | 1.01 | 0.78 |
| S-H | 0.24 | 0.68 | F-C | 1.60 | 1.41 | Br-Sb | 0.92 | 1.9 |
| F-H | 1.90 | 1.94 | Cl-C | 0.33 | 1.46 | I-Sb | 0.39 | 0.8 |
| Cl-H | 0.63 | 1.08 | Br-C | 0.24 | 1.38 | O=S | | 2.8 |
| Cl-D | | 1.09 | C-I | 0.29 | 1.19 | Cl-S | 0.39 | 0.7 |
| Br-H | 0.54 | 0.78 | O-N | 0.43 | 0.3 | O-Cl | 0.67 | 0.7 |
| I-H | 0.01 | 0.38 | O=N | | 2.0 | F-Cl | 1.27 | 0.88 |
| C-C | 0 | 0 | F-N | 1.03 | 0.17 | F-Br | 1.36 | 1.3 |
| C=C | | 0 | O=P | | 2.7 | Cl-Br | 0.09 | 0.57 |
| C≡C | 0 | | S=P | | 3.1 | Br-I | 0.53 | 1.2 |
| N-C | 0.57 | 0.22 | Cl-P | 0.77 | 0.81 | | | |

Dipolové momenty polyatomatických molekul

Polární molekula = celkový dipol musí ležet ve všech prvcích symetrie





| AB_nE_m | Bodová grupa | μ | Molekula |
|------------------------------------|---------------------|-------------------------|--|
| AB ₂ | D ∞ h | 0 | CO ₂ , BeCl ₂ (g), ZnX ₂ |
| AB ₃ | D ₃ h | 0 | BX ₃ , GaI ₃ , In(CH ₃) ₃ |
| AB ₂ E | C ₂ v | finito | SnX ₂ , PbX ₂ |
| AB ₄ | T _d | 0 | CX ₄ , SiX ₄ , ThX ₄ |
| AB ₃ E | C ₃ v | finito | NH ₃ , NX ₃ , PX ₃ |
| AB ₂ E ₂ | C ₂ v | finito | H ₂ O, SeX ₂ , TeX ₂ |
| AB ₅ | D ₃ h | 0 | PF ₅ , PCl ₅ (g), NbCl ₅ (g) |
| AB ₄ E | C ₂ v | finito | SF ₄ , SeF ₄ |
| AB ₃ E ₂ | C ₂ v | finito | ClF ₃ , BrF ₃ |
| AB ₂ E ₃ | D ∞ h | 0 | XeF ₂ |
| AB ₆ | O _h | 0 | SF ₆ , SeF ₆ , MoF ₆ |
| AB ₅ E | C ₄ v | finito | ClF ₅ , BrF ₅ , IF ₅ |
| AB ₄ E ₂ | D ₄ h | 0 | XeF ₄ |
| AB ₇ | D ₅ h | 0 | IF ₇ |

